



Рис. 44. Раскопки Окской экспедиции ИА РАН под руководством д-ра ист. наук А. Н. Сорокина стоянки-могильника Монино 2 в Сергиев-Посадском р-не Московской обл. Процесс разборки заполнения могильной ямы погребения № 4. Вид с востока. Фото 2007 г.



Рис. 45. Раскопки Окской экспедиции ИА РАН под руководством д-ра ист. наук А. Н. Сорокина стоянки-могильника Монино 2 в Сергиев-Посадском р-не Московской обл. Погребение № 4. Вид с востока. Фото 2007 г.



Рис. 46. Раскопки Окской экспедиции ИА РАН под руководством д-ра ист. наук А. Н. Сорокина стоянки-могильника Миныно 2 в Сергиев-Посадском р-не Московской обл. Погребение № 4 крупным планом. Фото 2007 г.

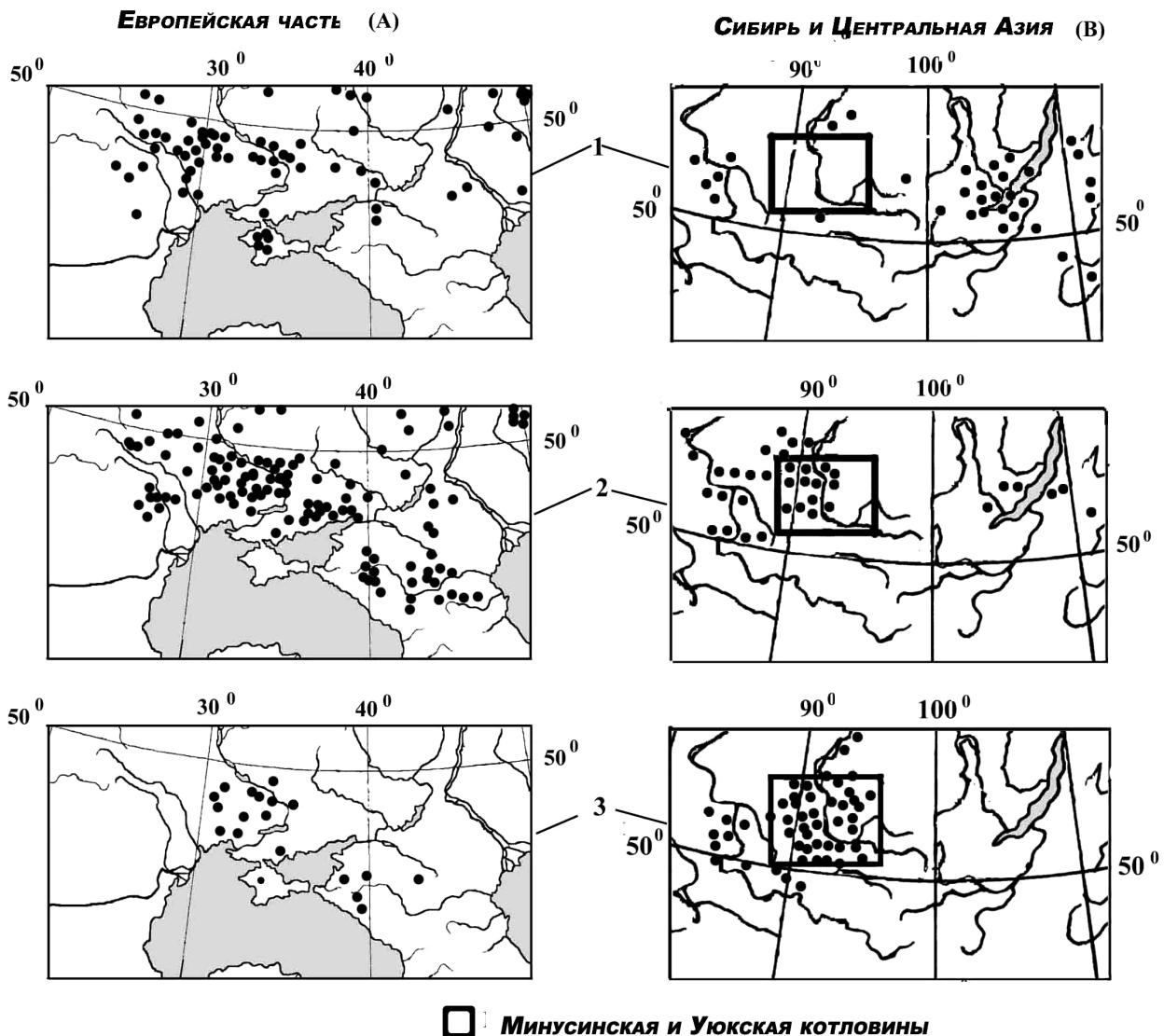


Рис. 47. Карта расположения датированных памятников мезолита – бронзового и железного веков Евразии: 1 – мезолит, неолит; 2 – бронзовый век; 3 – железный век (скифское время)

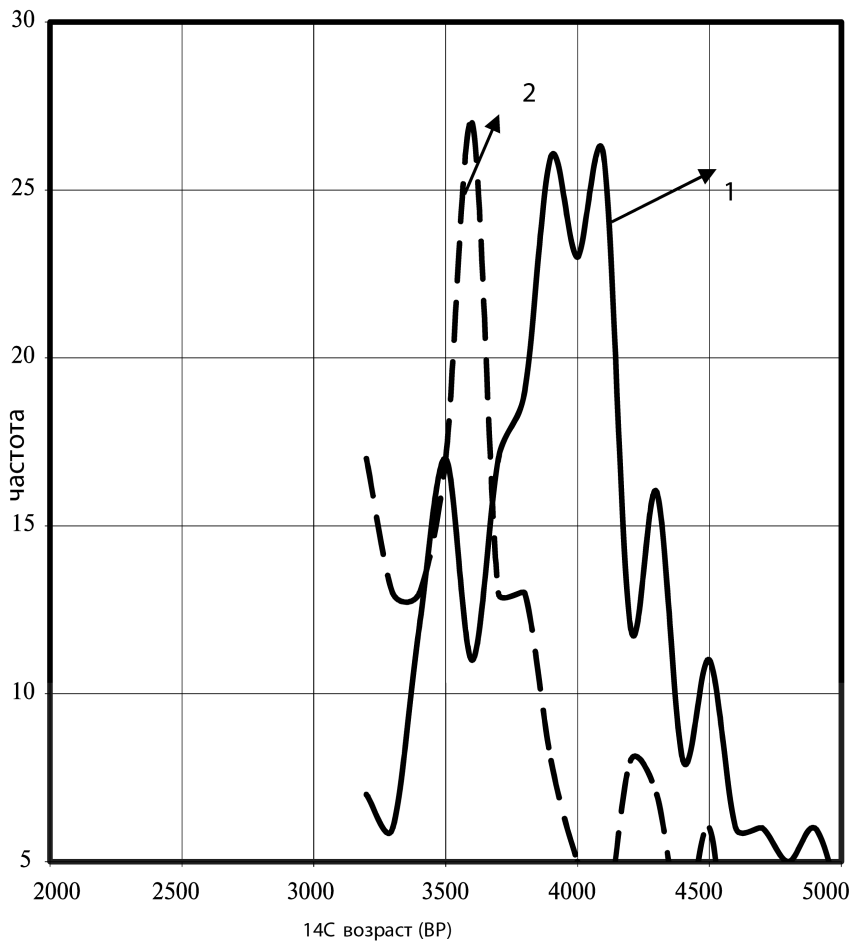


Рис. 48. Гистограмма распределения дат памятников бронзового века южных регионов Европы (1) и Азии (2)

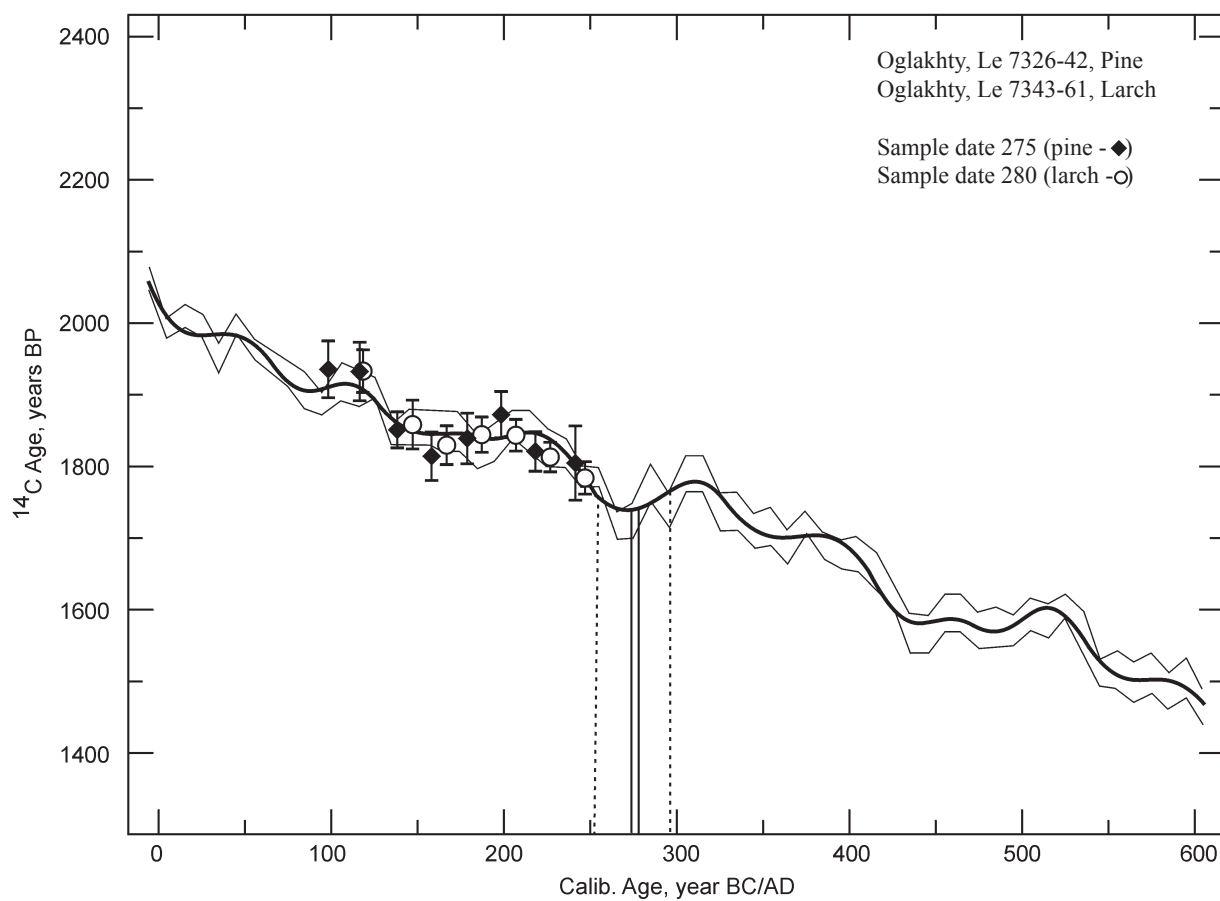


Рис. 49. Согласование радиоуглеродных данных совокупности годичных древесных колец (10 колец) с калибровочной кривой (ранний интервал)

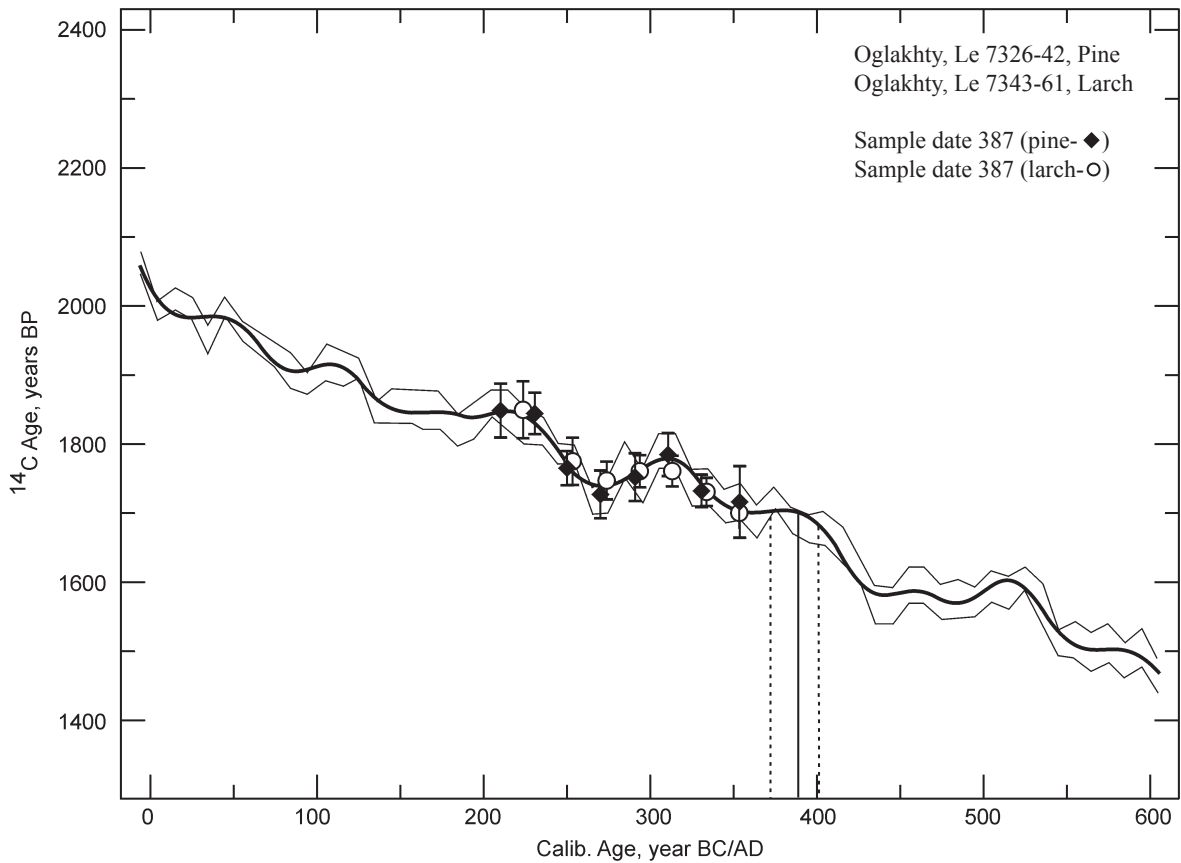


Рис. 50. Согласование радиоуглеродных данных совокупности годичных древесных колец (10 колец) с калибровочной кривой (поздний интервал)

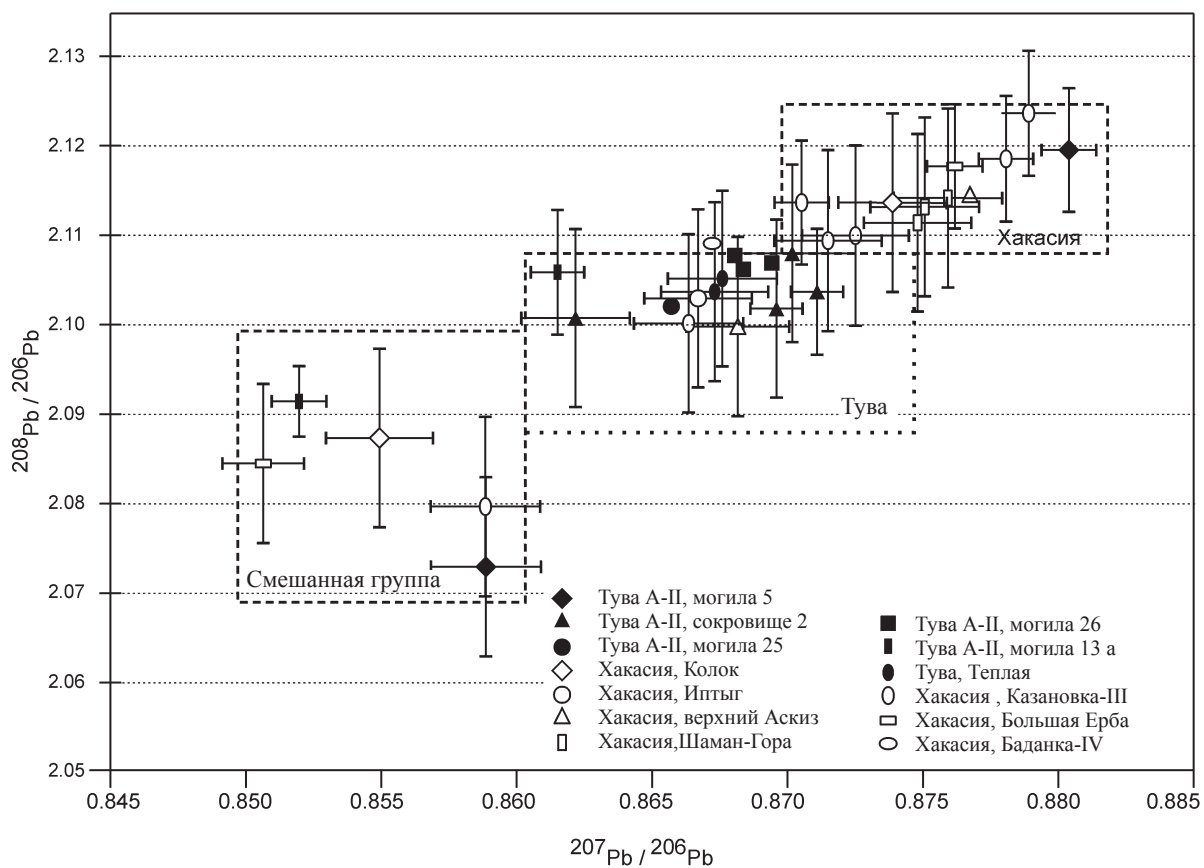


Рис. 51. Содержание изотопов свинца в бронзовых предметах памятников бронзового и железного веков Южной Сибири

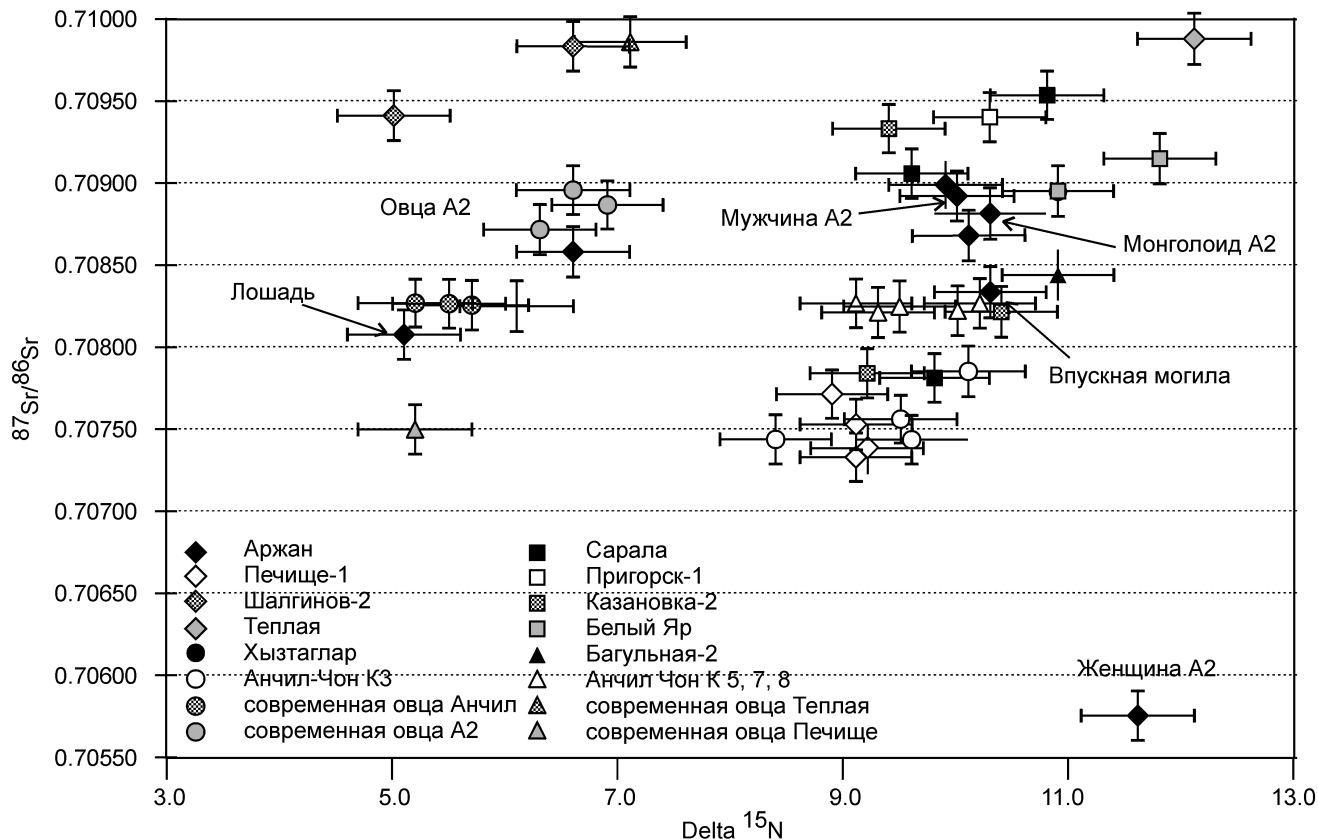


Рис. 52. Содержание изотопов стронция в костных остатках памятников бронзового и железного веков Южной Сибири

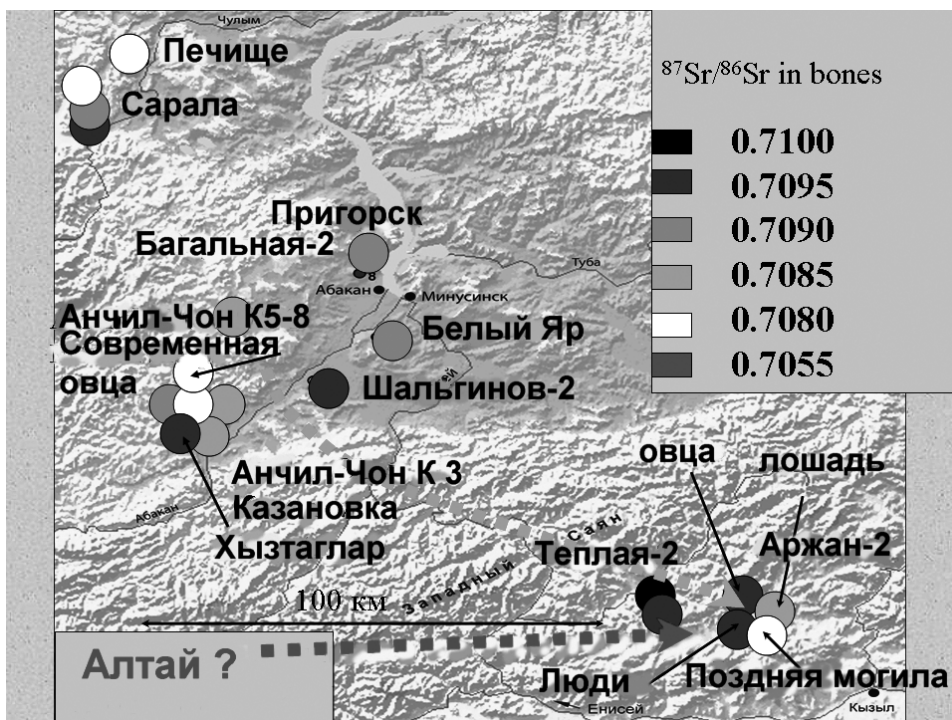


Рис. 53. Характеристика исследуемого региона по содержанию изотопов свинца в костях современных овец

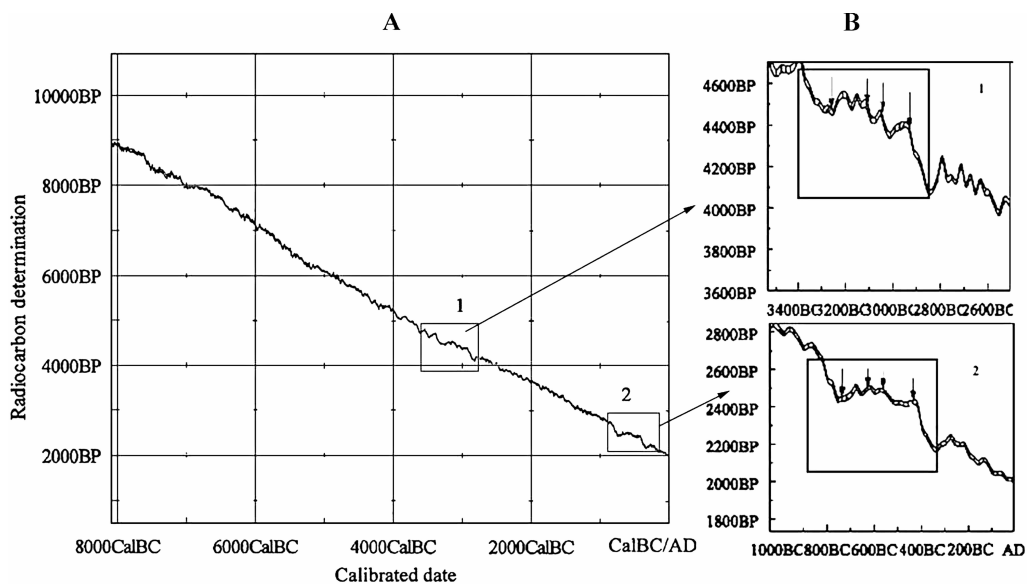


Рис. 54. Часть калибровочной кривой для голоцена (А) и для периодов бронзового века (В 1) и железного века (2). Участки с плато выделены квадратами

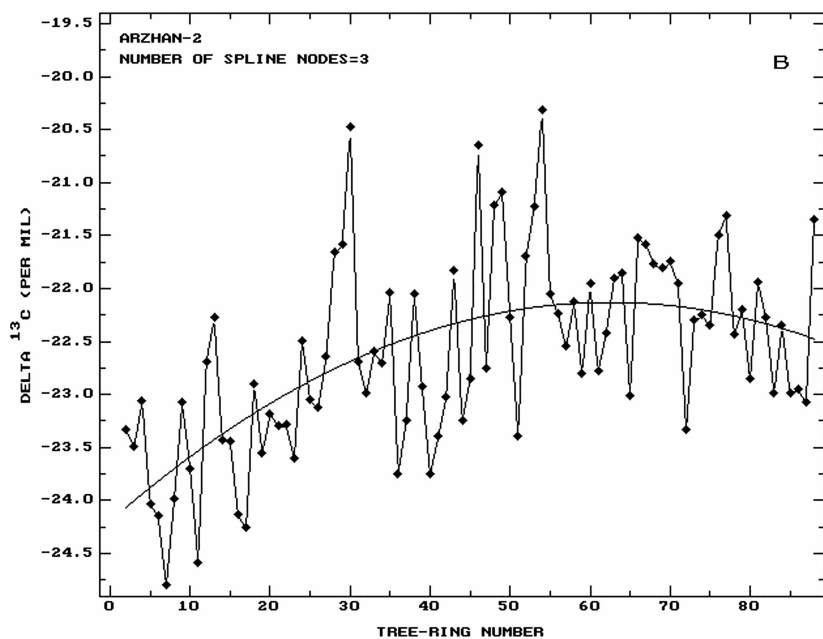
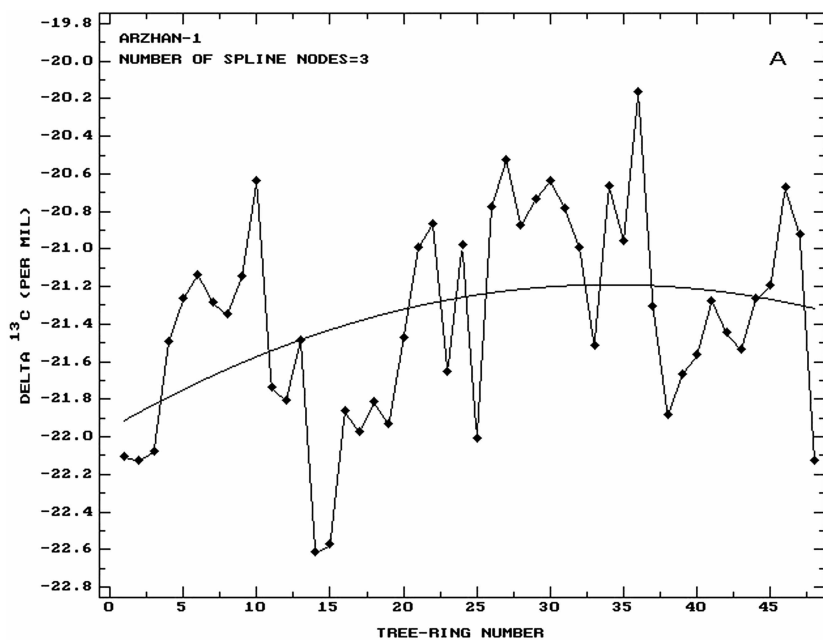


Рис. 55. Значения $\delta^{13}\text{C}$ в единичных годовых кольцах лиственницы постройки срубов Аржана-1 (А) и Аржана-2 (В)

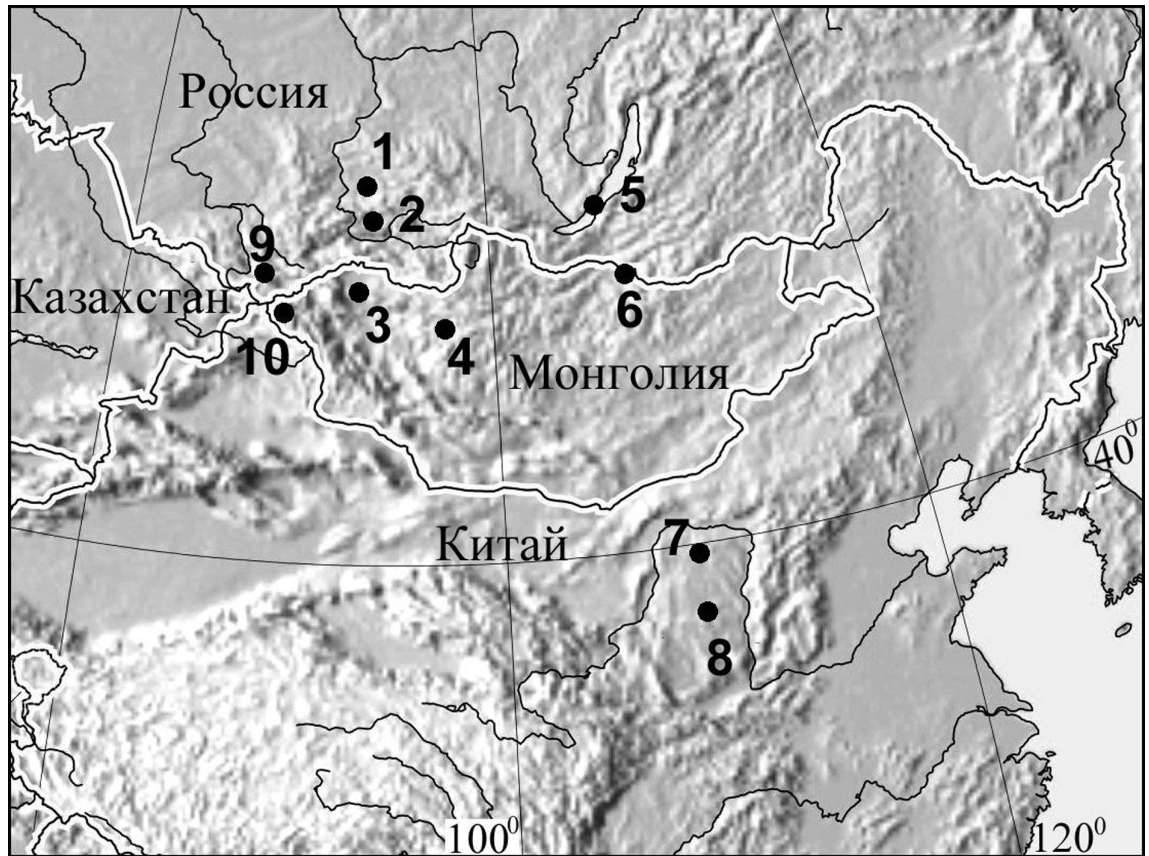
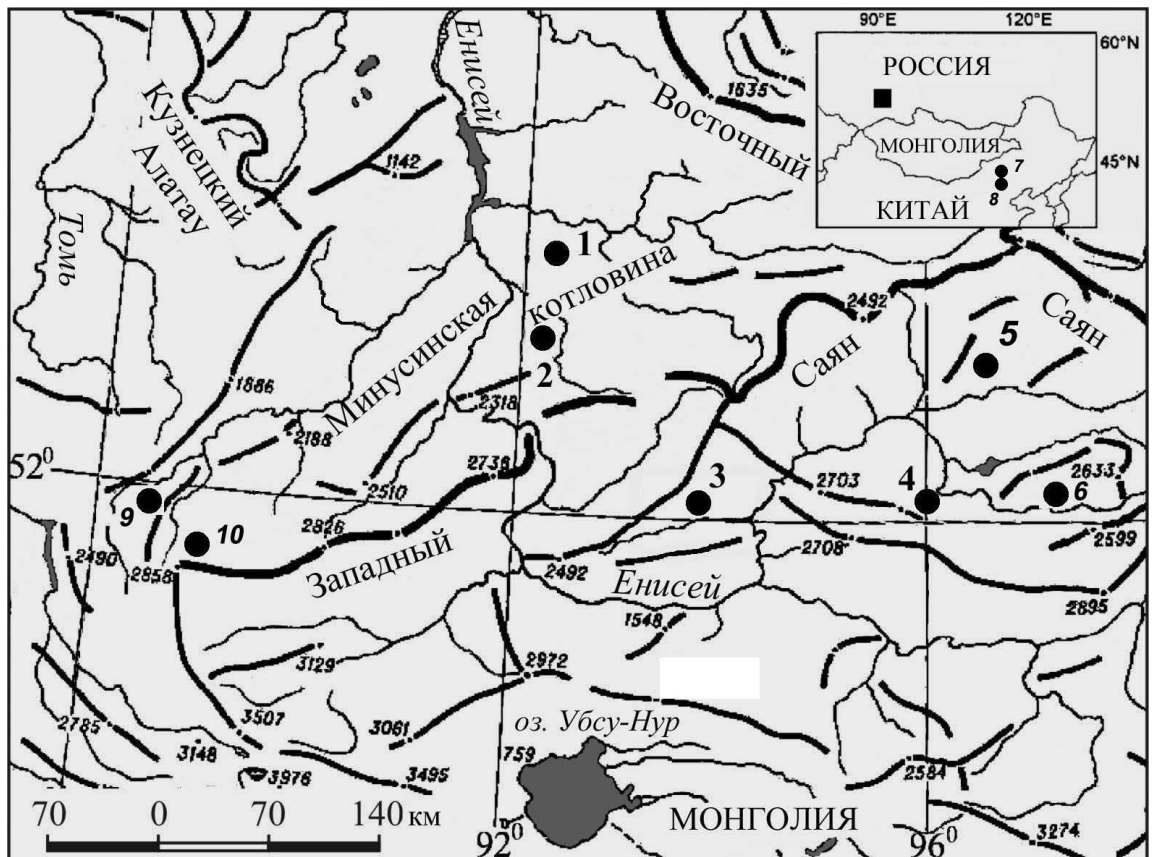


Рис. 5б. Местоположение разрезов, обсуждаемых в тексте.

Разрезы представляемой работы: 1 – Большое Кызыкульское озеро и Шушенское; 2 – Белое озеро.
 Разрезы других авторов: 3 – Grunert et al., 2000; 4 – Peck et al., 2002; 5 – Demske et al., 2005;
 6 – Feng, 2001; 7 – Chen et al., 2003; 8 – Xiaoqiang et al., 2003; 9 – Blyakharchuk et al., 2004;
 10 – Tarasov et al., 2000



White Lake 2

Pollen diagram, selected taxa

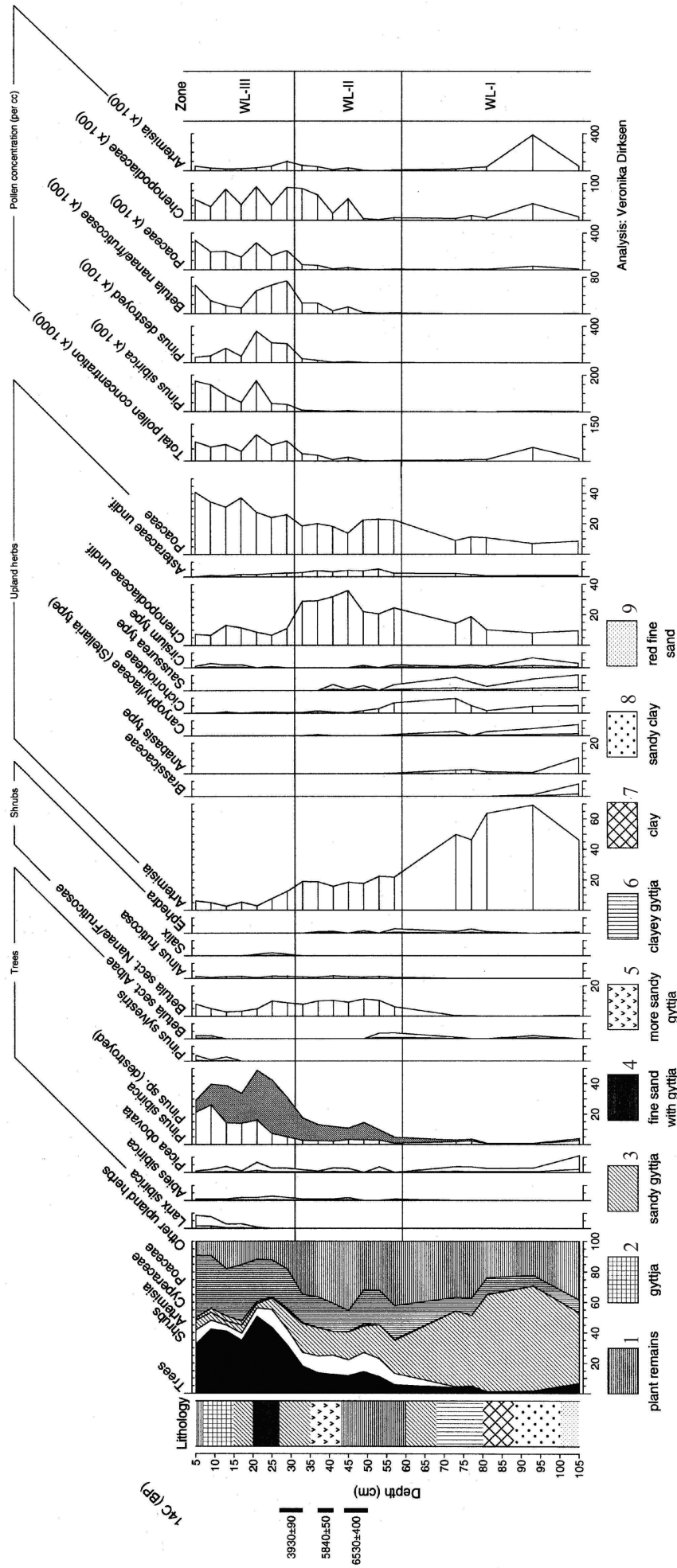


Рис. 58. Спорно-пыльцевая и микрофоссильная диаграмма озерной колонки Белого озера (основные таксоны).

Условные обозначения: 1 – ил; 2 – водонасыщенный сапропель; 3 – песчаный сапропель; 4 – сапропель, 5 – сапропель с примесью сапропеля; 6 – сапропель с песчаными прослойками; 7 – глинистый сапропель, 8 – глина; 9 – песчаная глина; 10 – песок

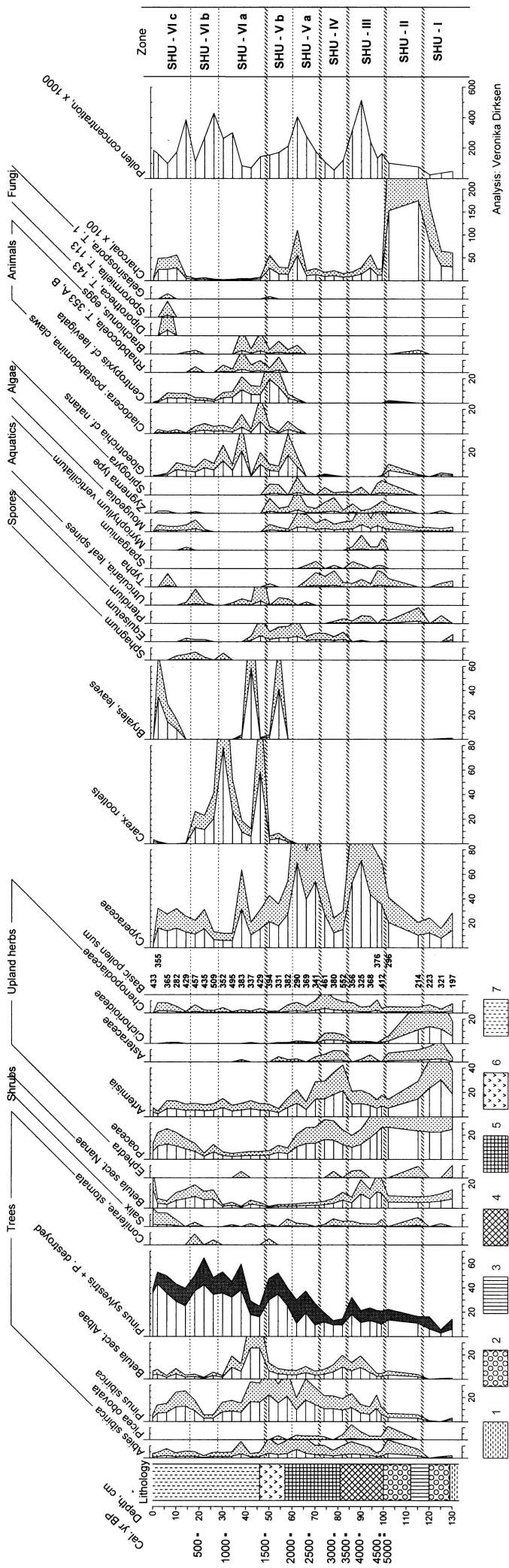


Рис. 59. Спорово-пыльцевая и микрофоссильная диаграмма разреза озерно-торфяных отложений Шушенское (основные таксоны).
 Условные обозначения: 1 – глина; 2 – галька; 3 – суглинок; 4 – суглинистый сапропель; 5 – сапропель; 6 – оторфованный сапропель; 7 – торф

Мюн I
Календарный возраст, л.н.

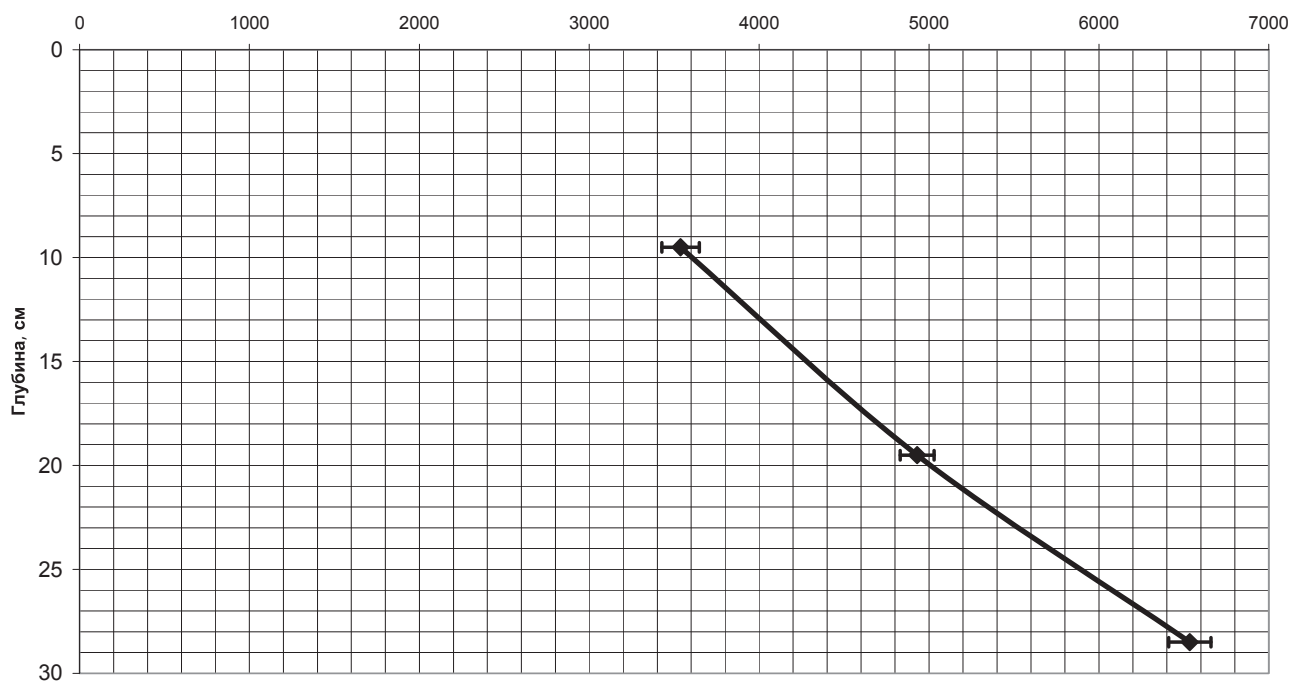


Рис. 60. Модели изменения возраста отложений озера Мюн-I в зависимости от глубины. Вертикальные линии на диаграммах обозначают интервалы глубин отбора проб, горизонтальные линии – интервалы календарного возраста, в соответствии с табл. 7

Мюн II
Календарный возраст, л.н.

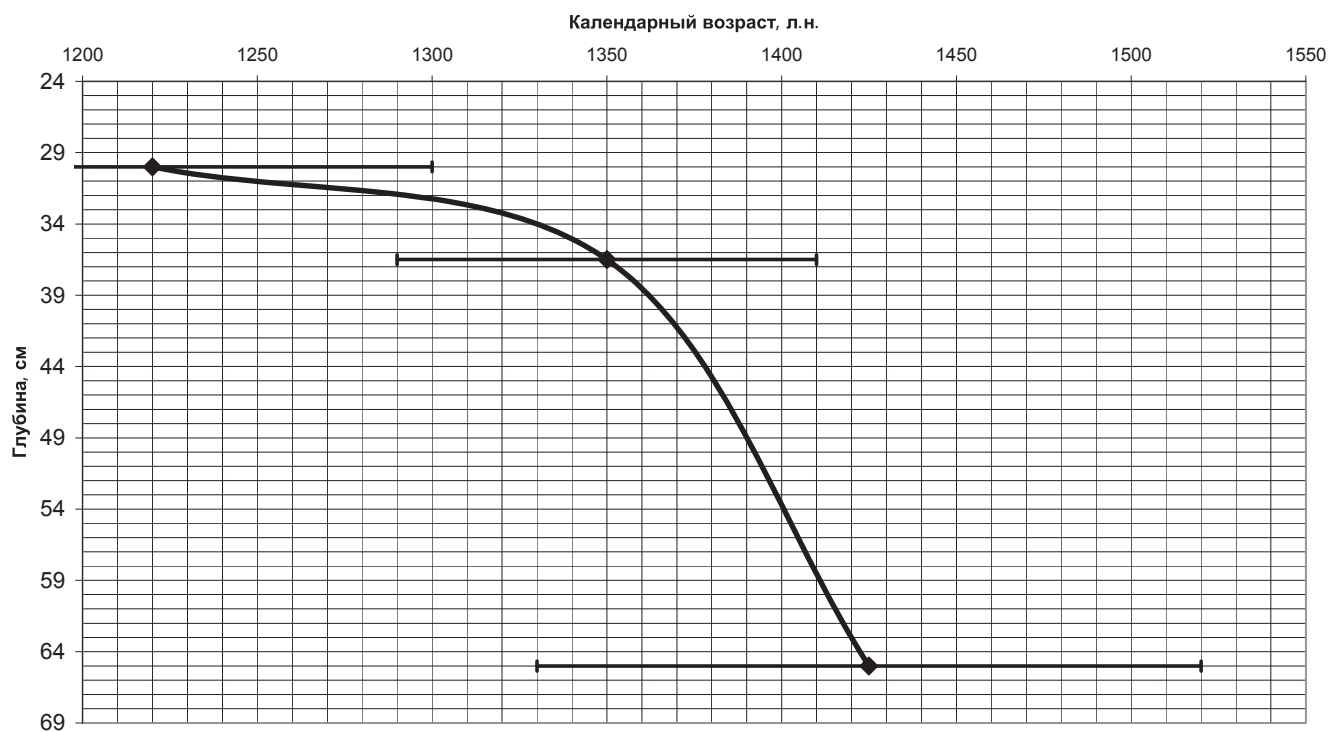


Рис. 61. Модели изменения возраста отложений озера Мюн-II в зависимости от глубины. Вертикальные линии на диаграммах обозначают интервалы глубин отбора проб, горизонтальные линии – интервалы календарного возраста, в соответствии с табл. 7

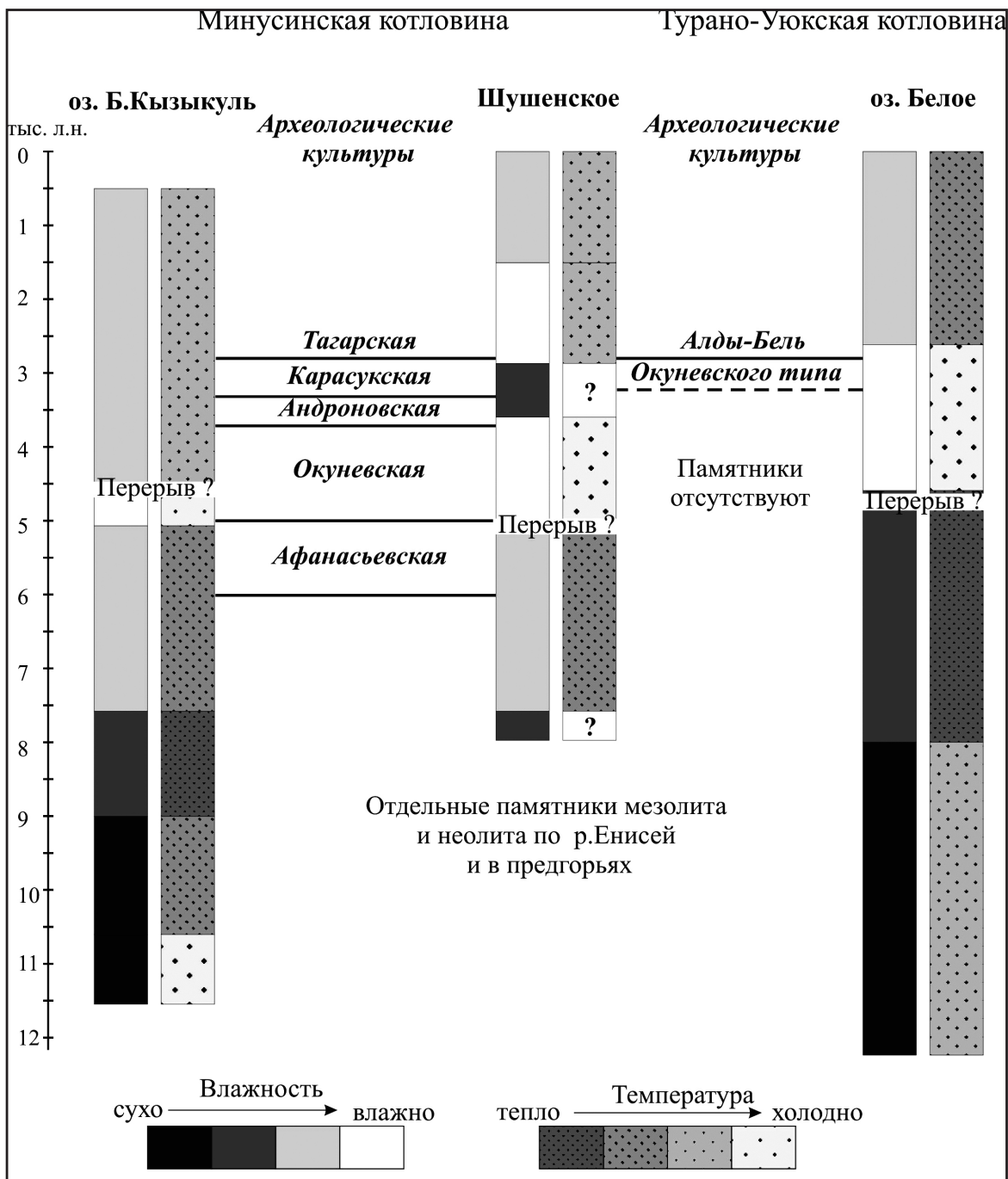


Рис. 62. Изменения природной среды и динамика археологических культур. Интенсивность заливки и штриховки отображает относительные изменения влажности и температуры, в соответствии со шкалами внизу рисунка. Хронологическая шкала дана в календарном летоисчислении. Знак вопроса обозначает отсутствие информации о характере изменений и возможные временные перерывы

Рис. 63. Фотографии орудий и микрофотографии следов сработанности (микроскоп Olympus BX-51, увеличение 5х (кроме 6):

- 1 – следы в желобке «утожка»;
- 2 – «утожок»;
- 3 – галька; 4 – следы сработанности;
- 5 – керамический скребок;
- 6 – следы сработанности;
- 7 – фото эмали зуба;
- 8 – следы сработанности в желобке



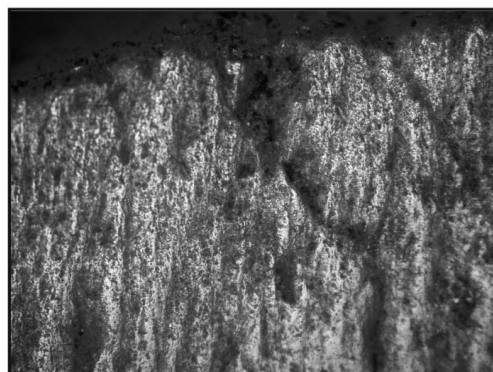
1



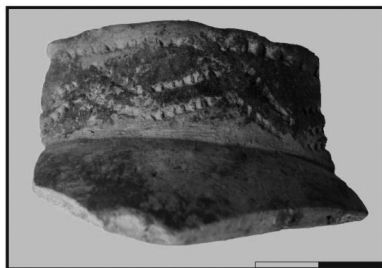
2



3



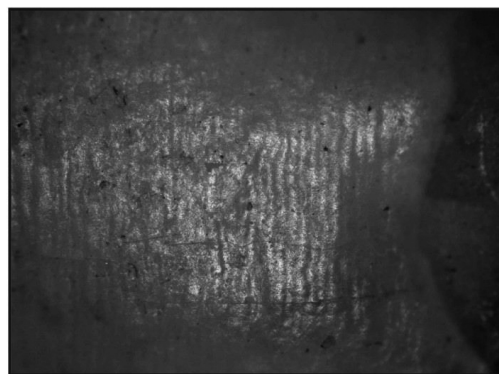
4



5



6



7



8

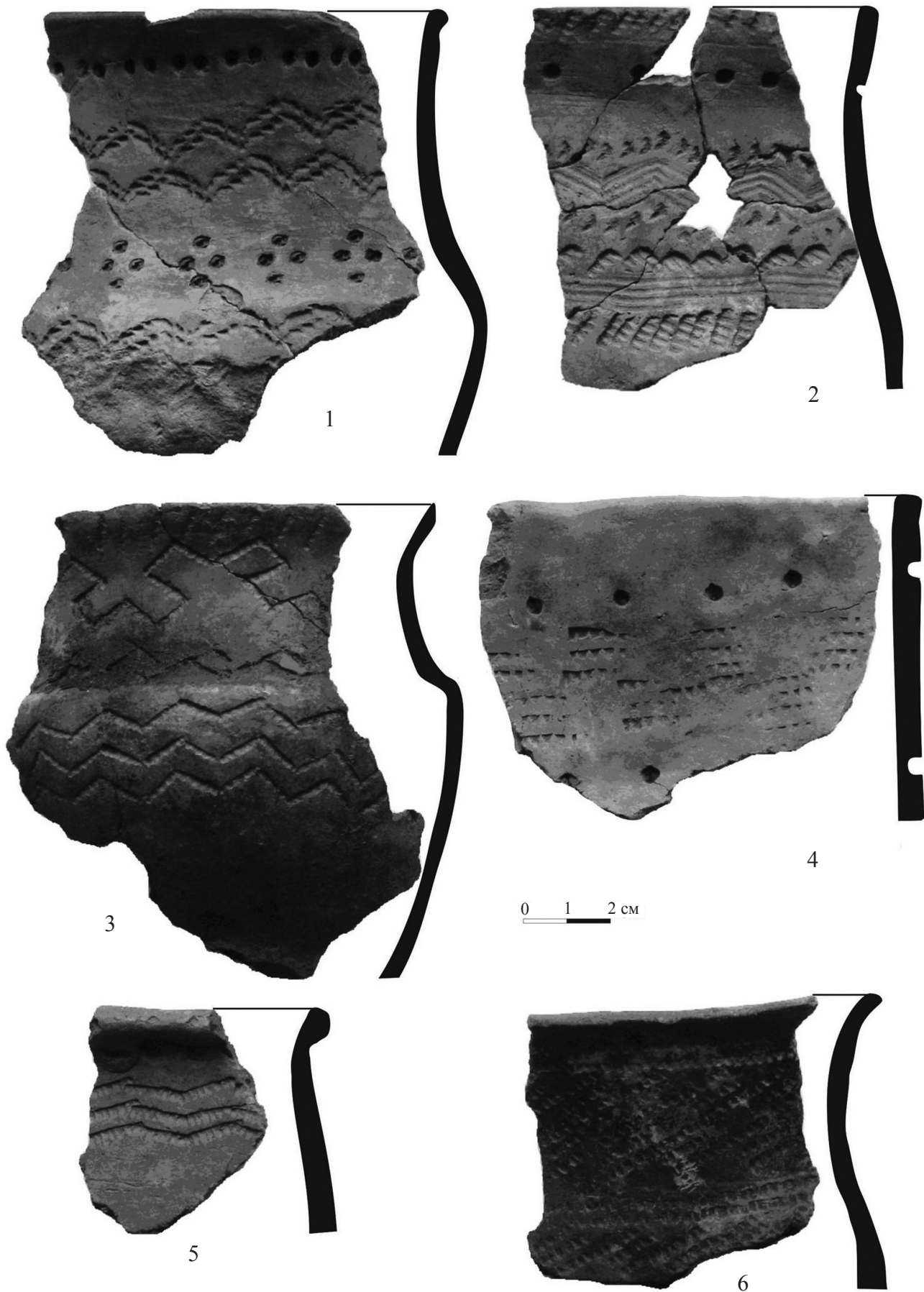


Рис. 64. Керамика коптяковской культуры эпохи бронзы поселения Чепкуль-5

Рис. 65. Этапы формирования территории поселения Алтын-депе:
 а – слои с керамикой раннего энеолита времени позднего Намазга-I; б – слои с керамикой ялангачского типа времени Намазга-II; в – слои с керамикой раннегеоксюрского типа времени позднего Намазга-II; г – слои с керамикой геоксюрского и постгеоксюрского типов времени Намазга-III

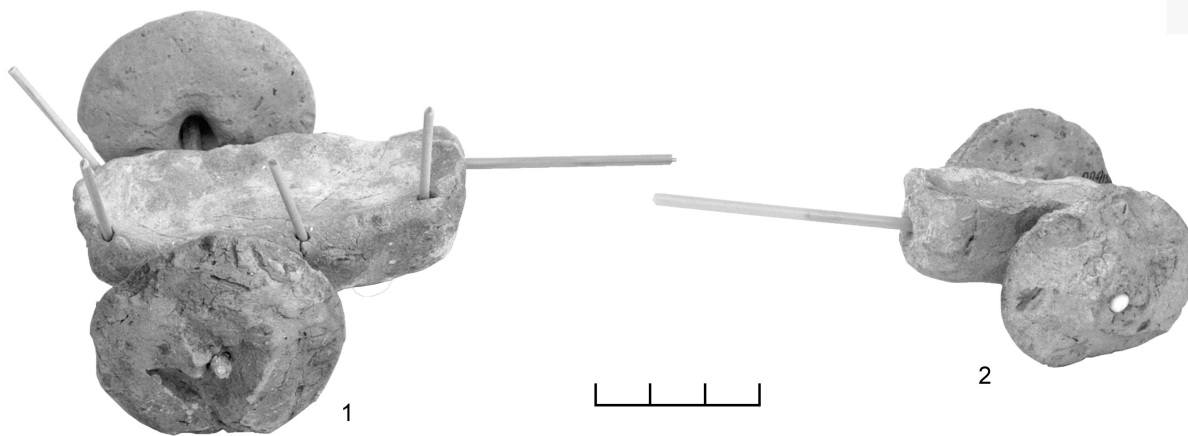
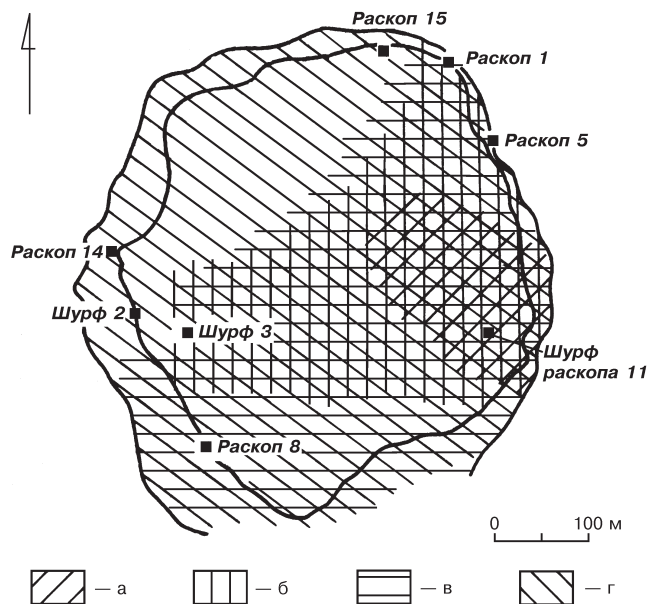
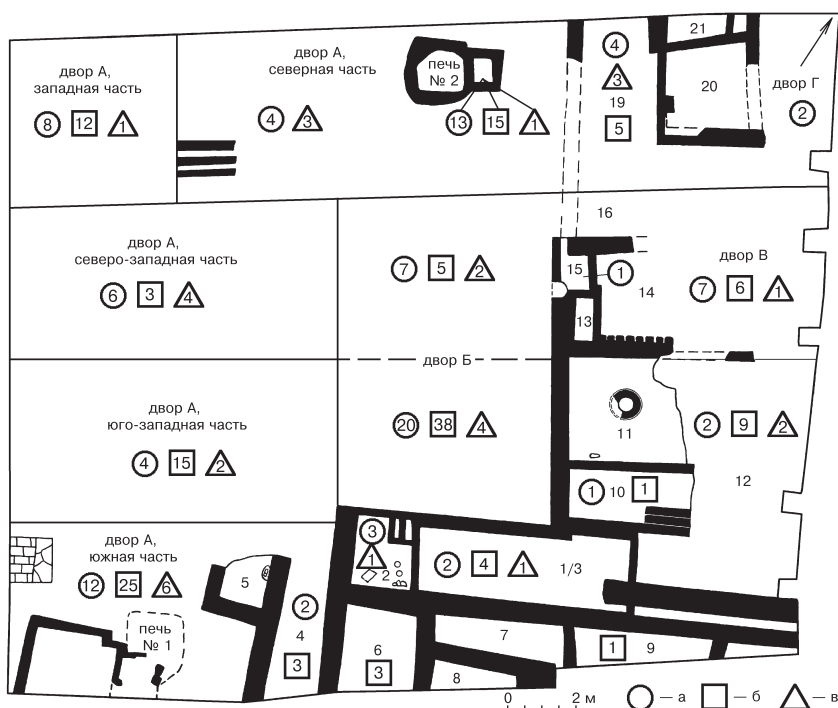


Рис. 66. Алтын-депе, раскоп 5, одноосные повозки периода позднего энеолита из глины (1) и терракоты (2)

Рис. 67. Алтын-депе, раскоп 5, 10-й горизонт, планиграфия находок каменных орудий труда конца периода позднего энеолита:
 а – орудия земледелия и зернообработки;
 б – орудия по обработке камня;
 в – орудия металлообработки. Цифры внутри условного значка обозначают количество орудий соответствующей группы без учета полифункциональных орудий



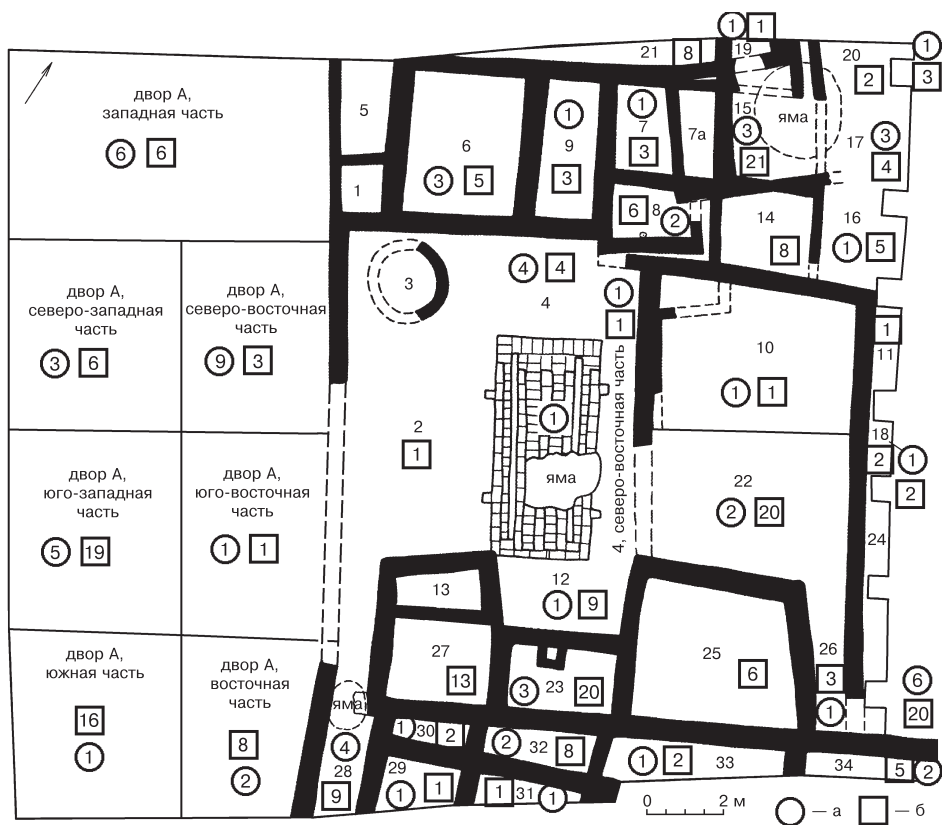


Рис. 68. Алтын-депе, раскоп 5, 9-й горизонт, планиграфия находок каменных орудий труда конца периода позднего энеолита: а – орудия земледелия и зернообработки; б – орудия по обработке камня. Цифры внутри условного значка обозначают количество орудий соответствующей группы без учета полифункциональных орудий

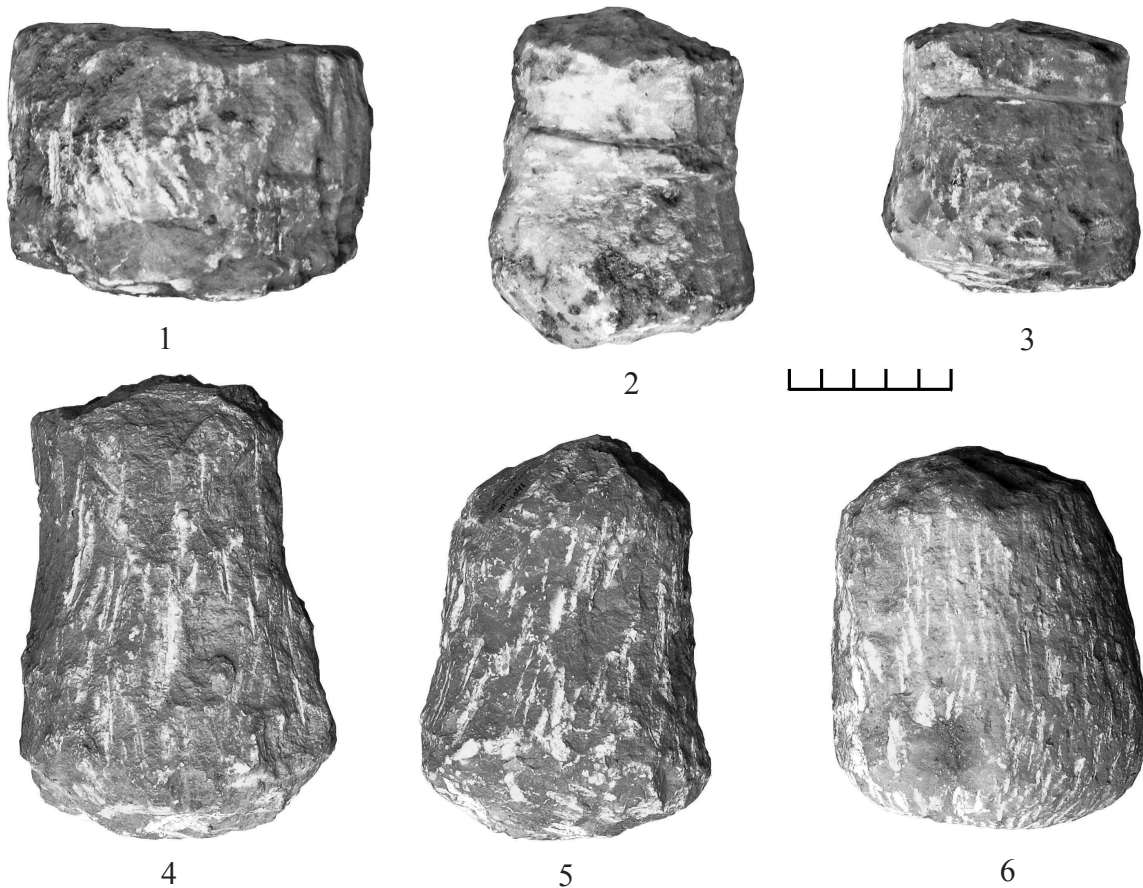


Рис. 69. Алтын-депе, раскоп 5, 9-й горизонт, заготовки сосудов из алебаstra конца периода позднего энеолита

Рис. 70. Алтын-депе, раскоп 5, 9-й горизонт, планиграфия находок каменных орудий труда, связанных с металлургией и металлообработкой конца периода позднего энеолита: а – абразивы для шлифования и заточки металлических изделий; б – орудия для раскатки фольги и формовки ювелирных изделий (ковки и выбивания на матрице); в – орудия дляковки металла; г – орудия для измельчения руды. Цифры внутри условного значка обозначают количество орудий соответствующей группы без учета полифункциональных орудий

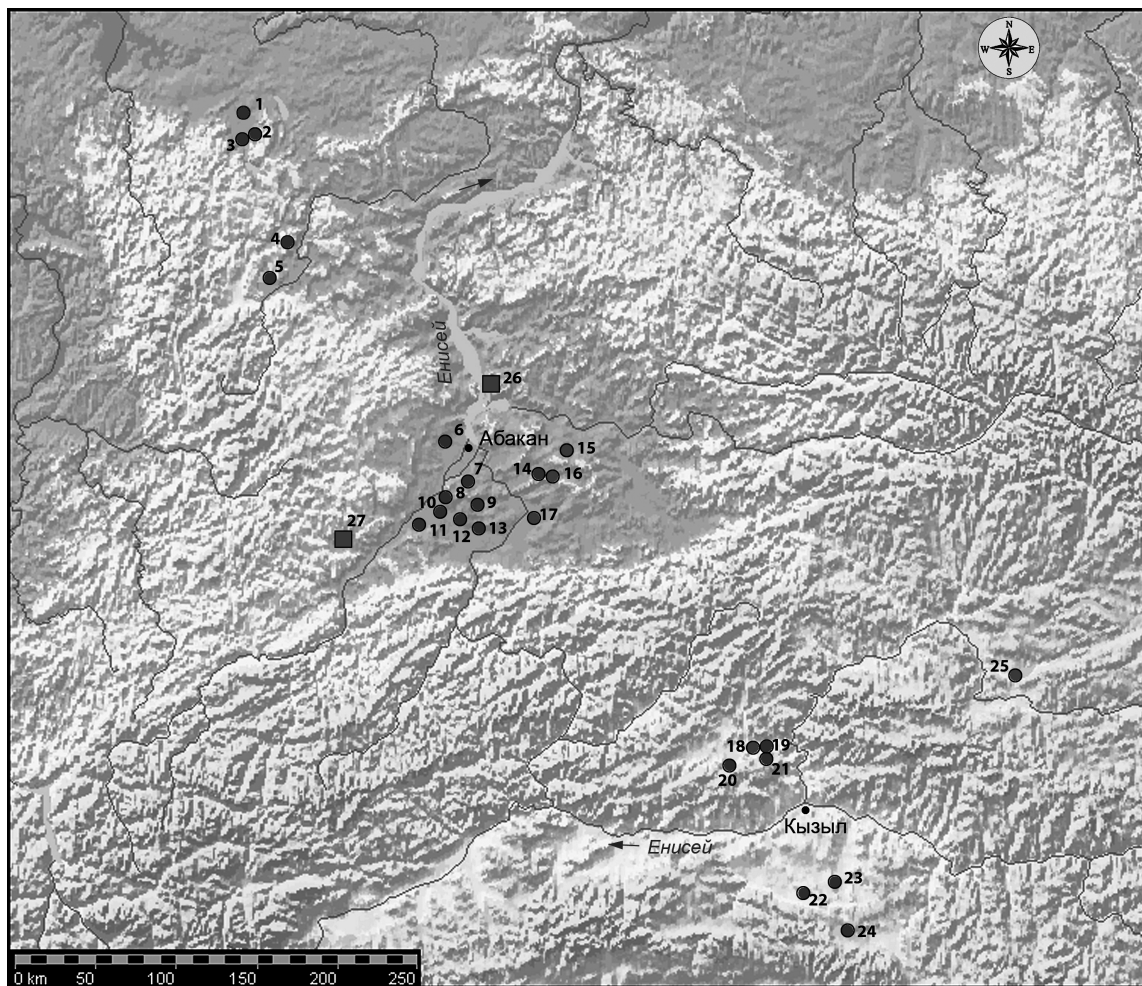
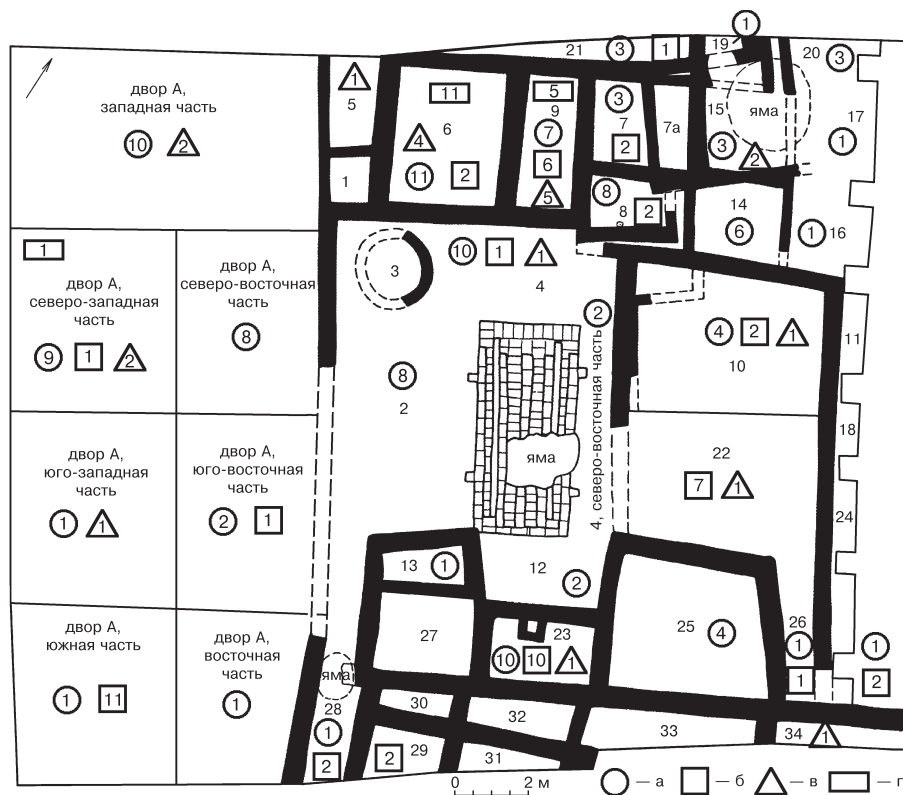


Рис. 71. Список обследованных озер и шурфов Центральной Азии: ● озера: 1 – Сергеева Яма; 2 – Попова; 3 – Стирьюво; 4 – Листвянки; 5 – Черное Озеро; 6 – Красное; 7 – Рыбное; 8 – Сартыков; 9 – Борки; 10 – Турланье; 11 – Сосновое; 12 – Черное; 13 – Бугаево; 14 – Сухое; 15 – Б. Кызыкульское; 16 – Кутужеково; 17 – Шушенское; 18 – Белое Озеро 1; 19 – Белое Озеро 2; 20 – Чероне; 21 – Шарлэнныг Холь; 22 – Хадын; 23 – Чеддер; 24 – Чагытай; 25 – Мюн. ■ разрезы: 26 – Тепсей; 27 – Усть-Кюг

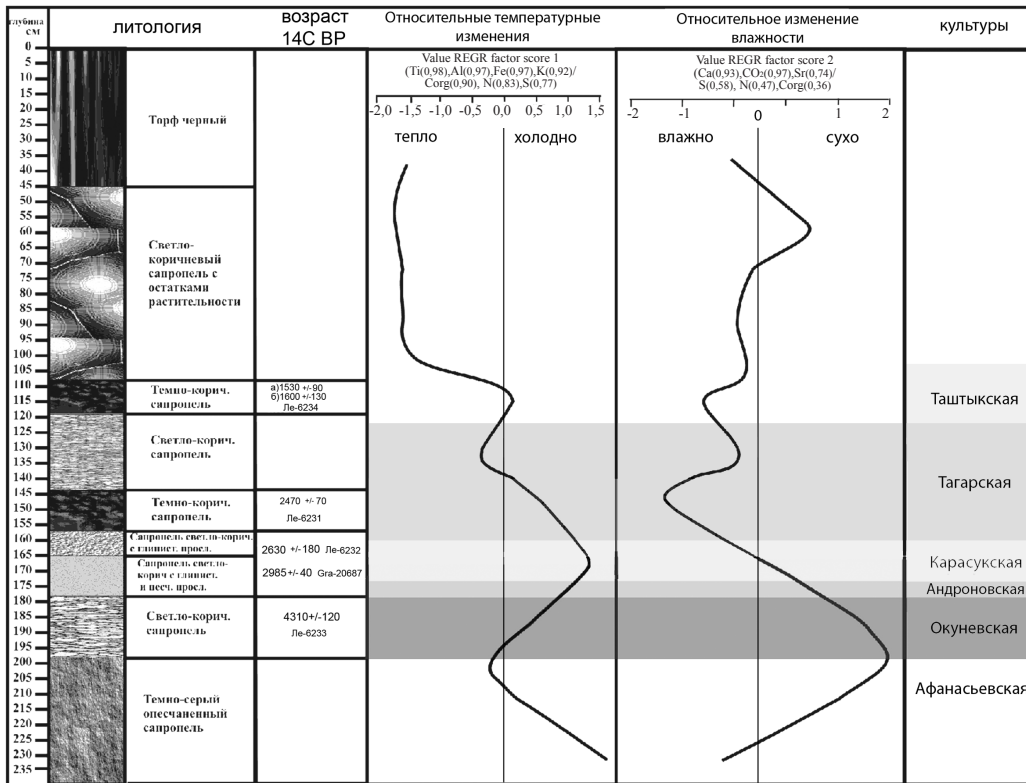


Рис. 72. Изменение климата по геохимическим данным (оз. Кутужекское)

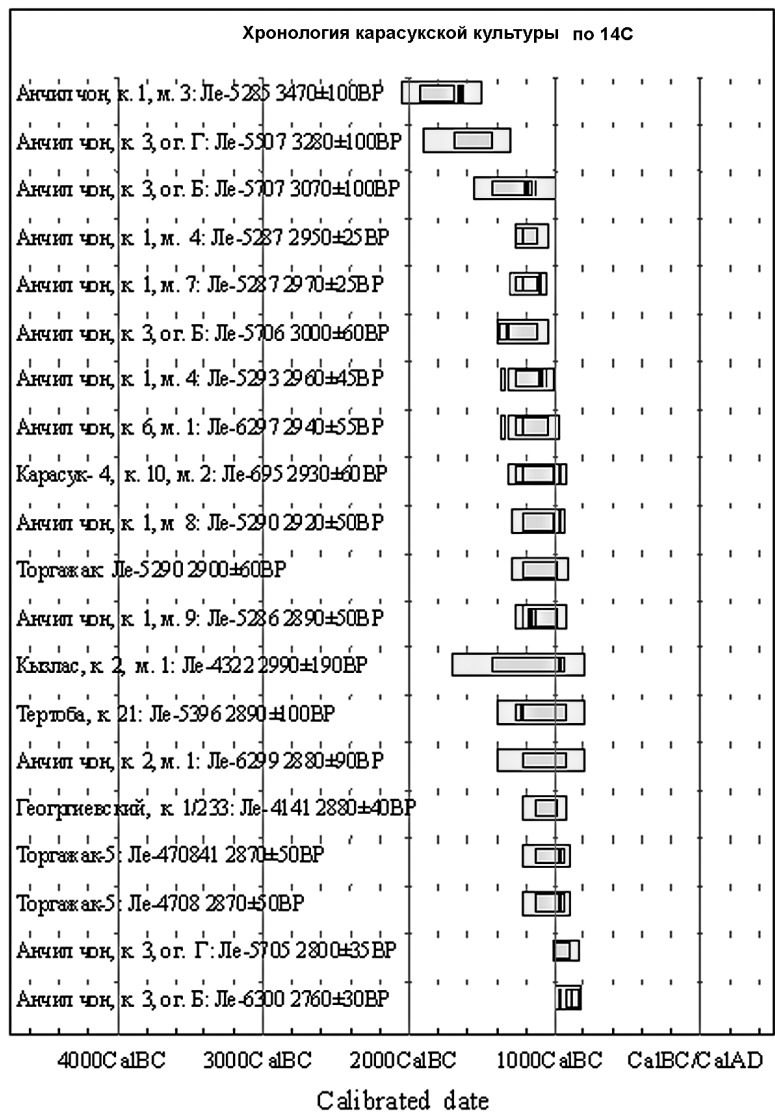


Рис. 73. Радиоуглеродные датировки карасукской культуры

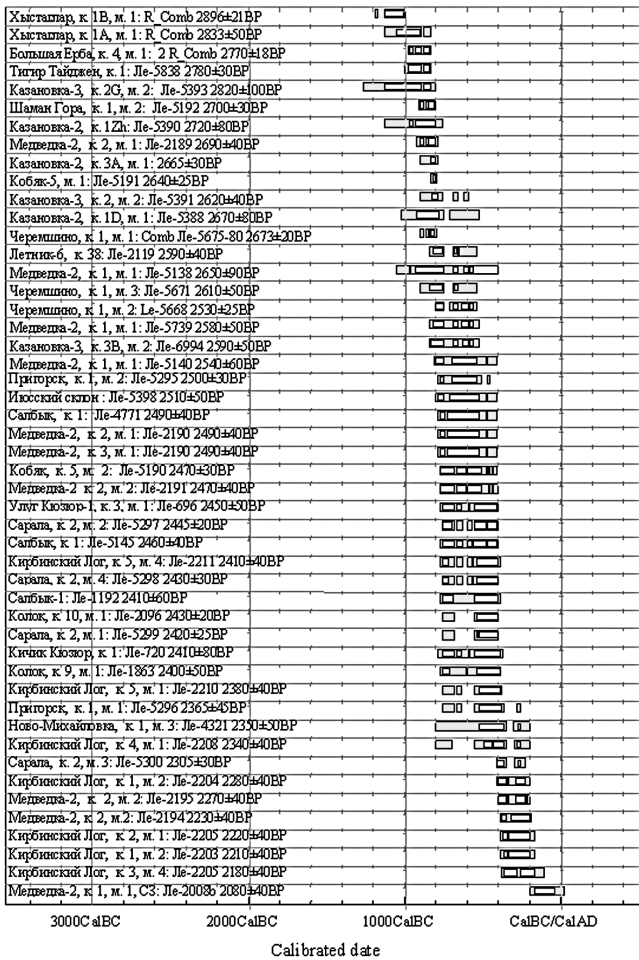


Рис. 74. Радиоуглеродные датировки тагарской культуры

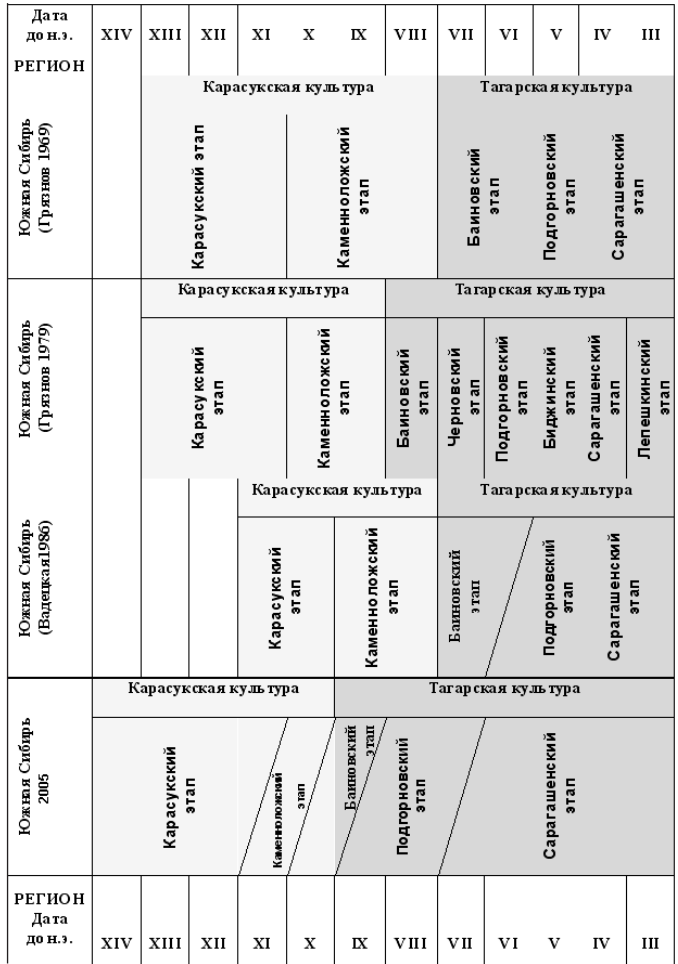
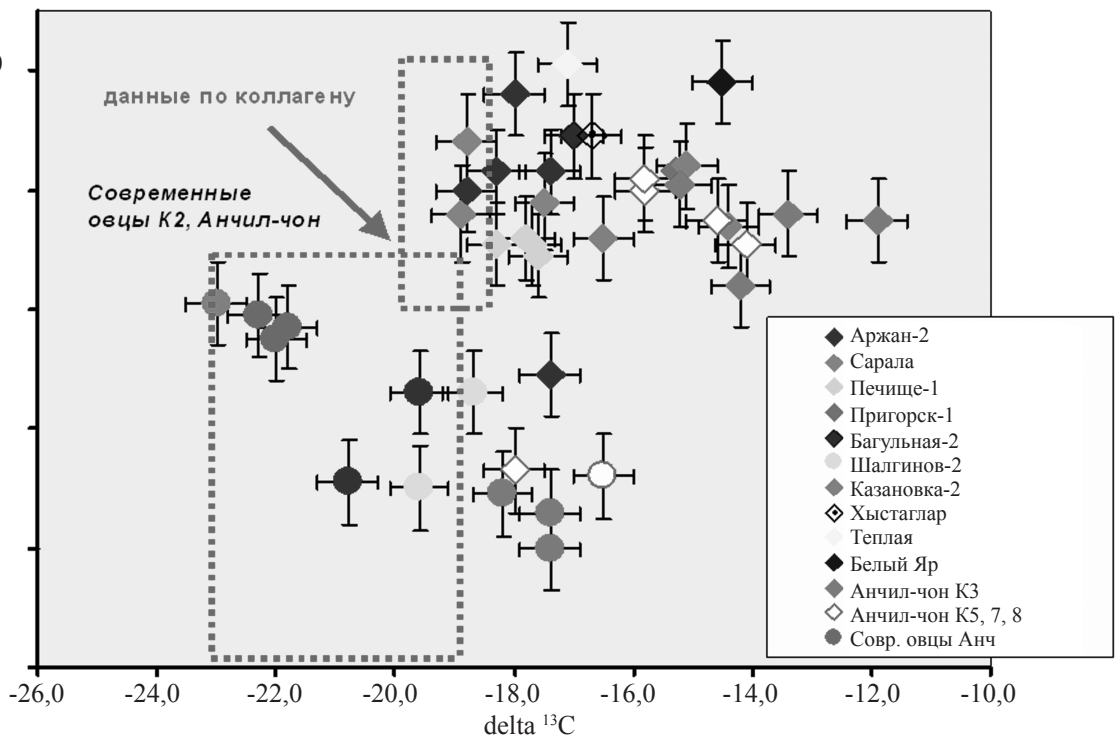


Рис. 75. Культурно-хронологические схемы эпохи поздней бронзы – скифского времени Среднего Енисея

Рис. 76. Изотопный состав углерода и азота в костных останках людей и животных



$^{87}\text{Sr}/^{86}\text{Sr}$

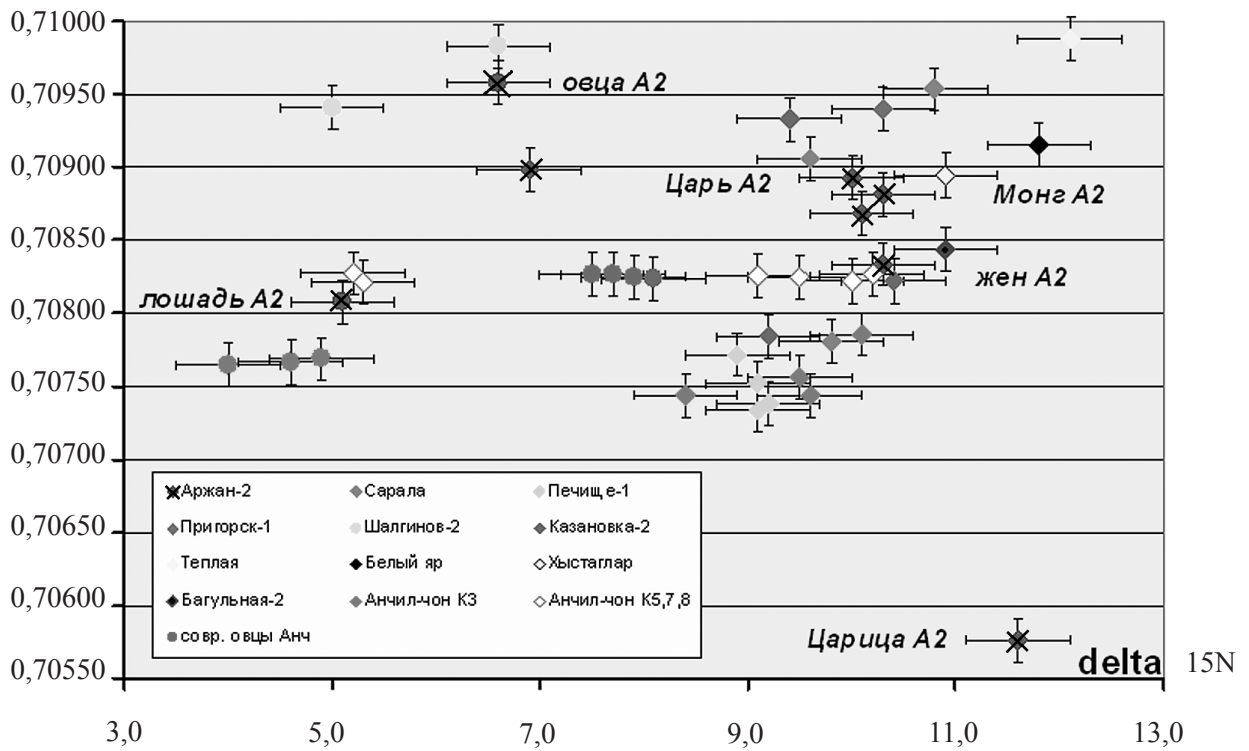


Рис. 77. Изотопный состав стронция и азота в костных останках людей и животных

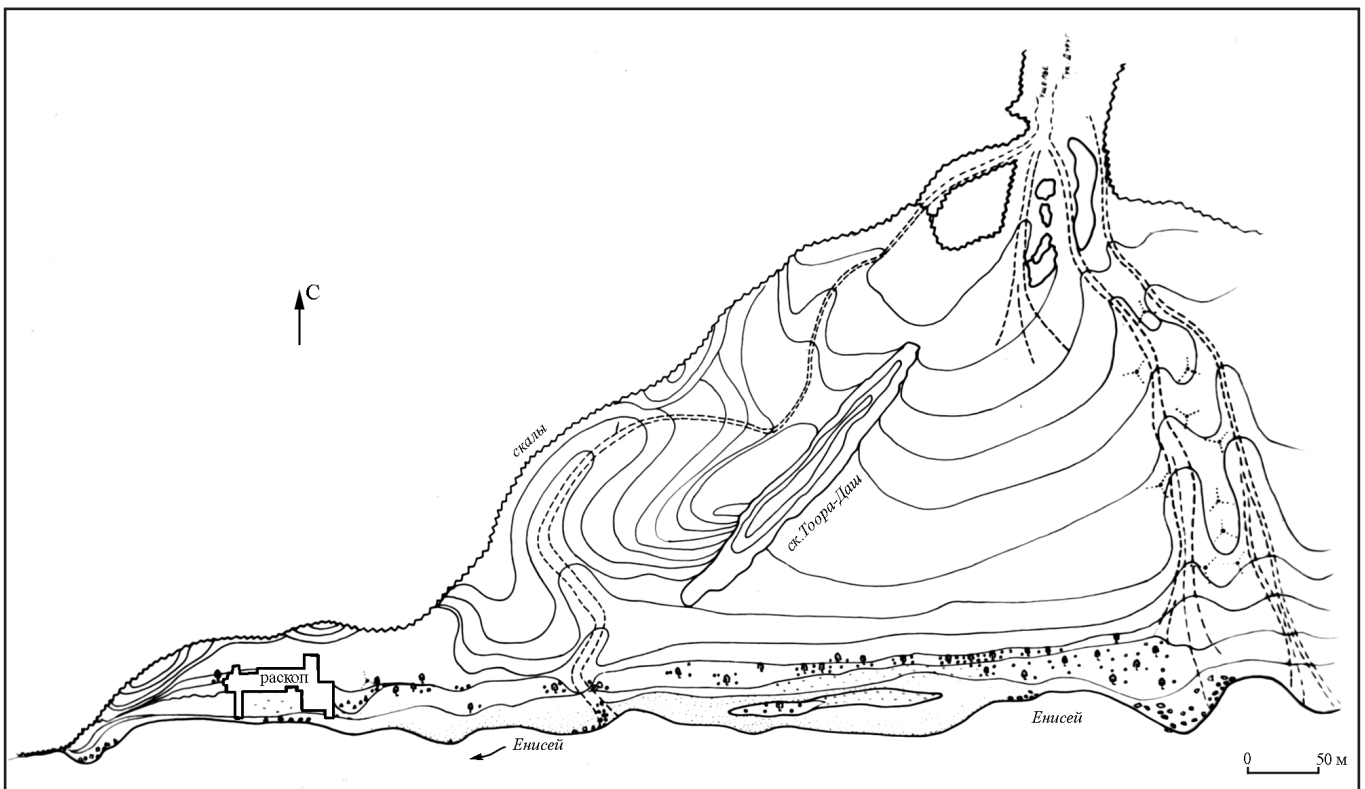


Рис. 78. Ситуационный план расположения стоянки Тоора-Даш. 1984

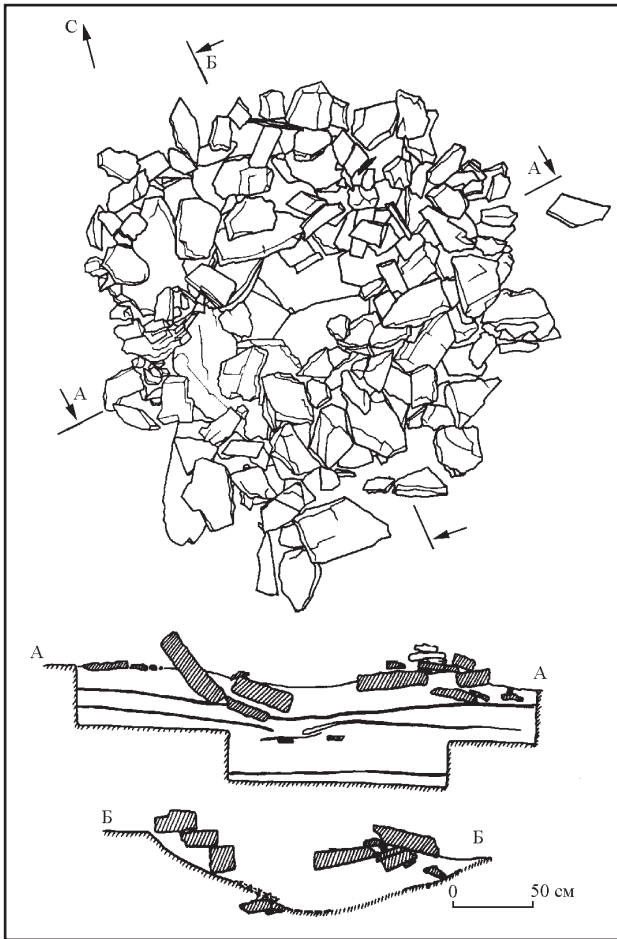


Рис. 79. Тоора-Даш. План сооружения № 1 в первом культурном слое

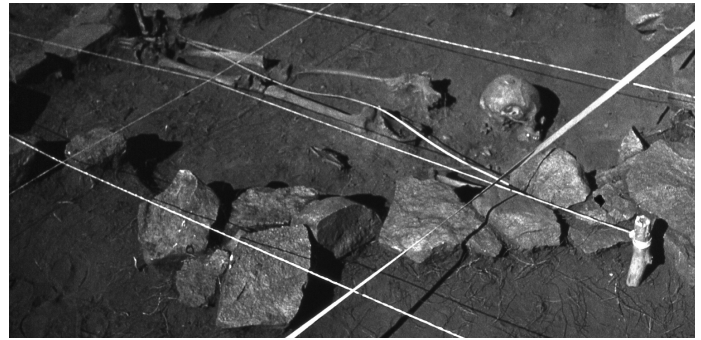


Рис. 80. Неолитическое погребение на стоянке Азас-2. Тоджа

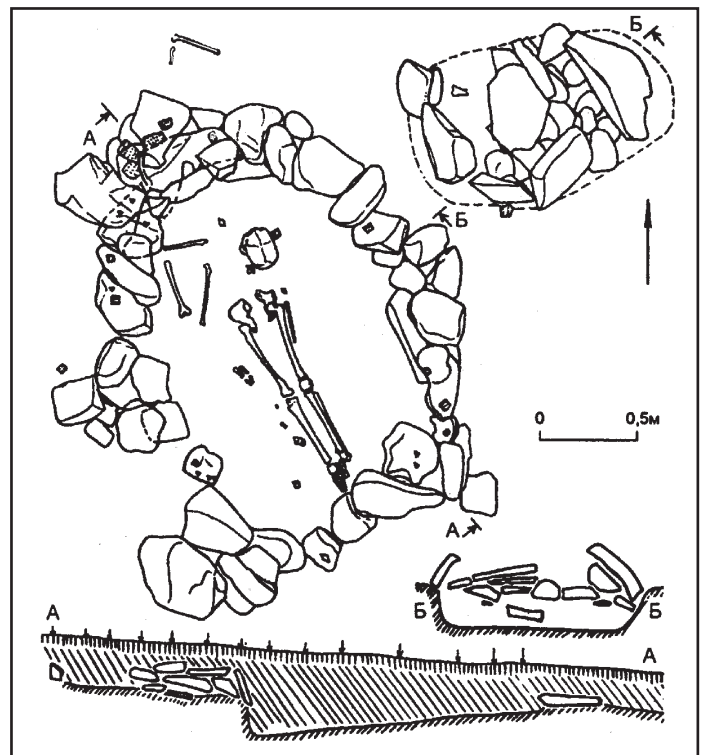


Рис. 81. План неолитического погребения на стоянке Азас-2. Тоджа

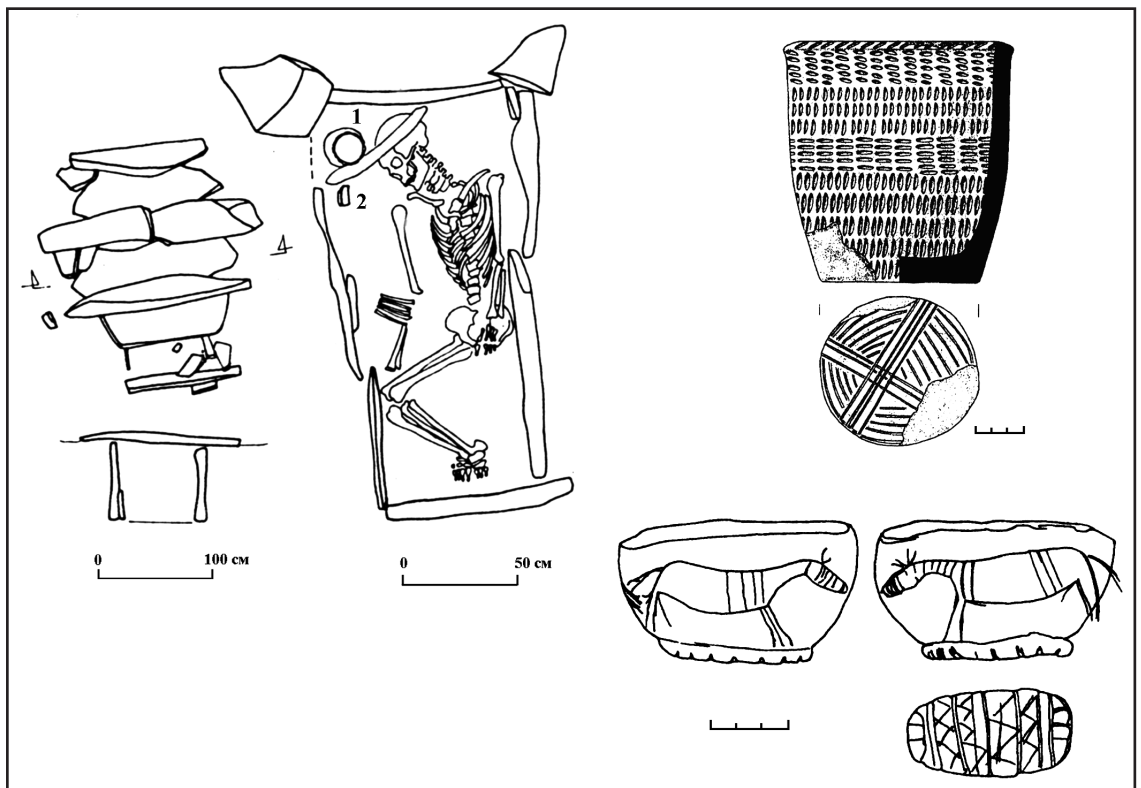


Рис. 82. Могильник Аймырлыг-ХIII, погребение 8: 1 – керамический сосуд; 2 – каменный сосуд

Рис. 83. Тоора-Даш.
7-й культурный слой.
План жилища

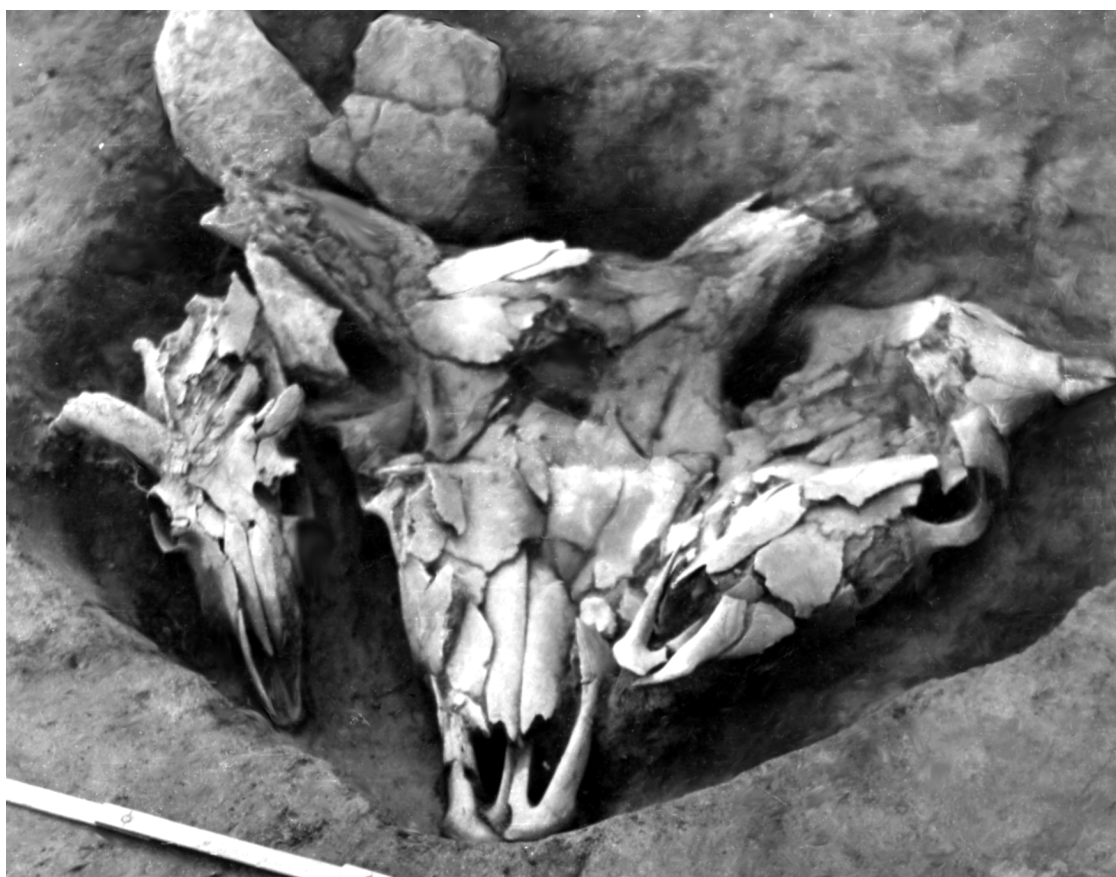


Рис. 84. Тоора-Даш.
7-й культурный
слой. Культурное
захоронение
черепов быков
и барана

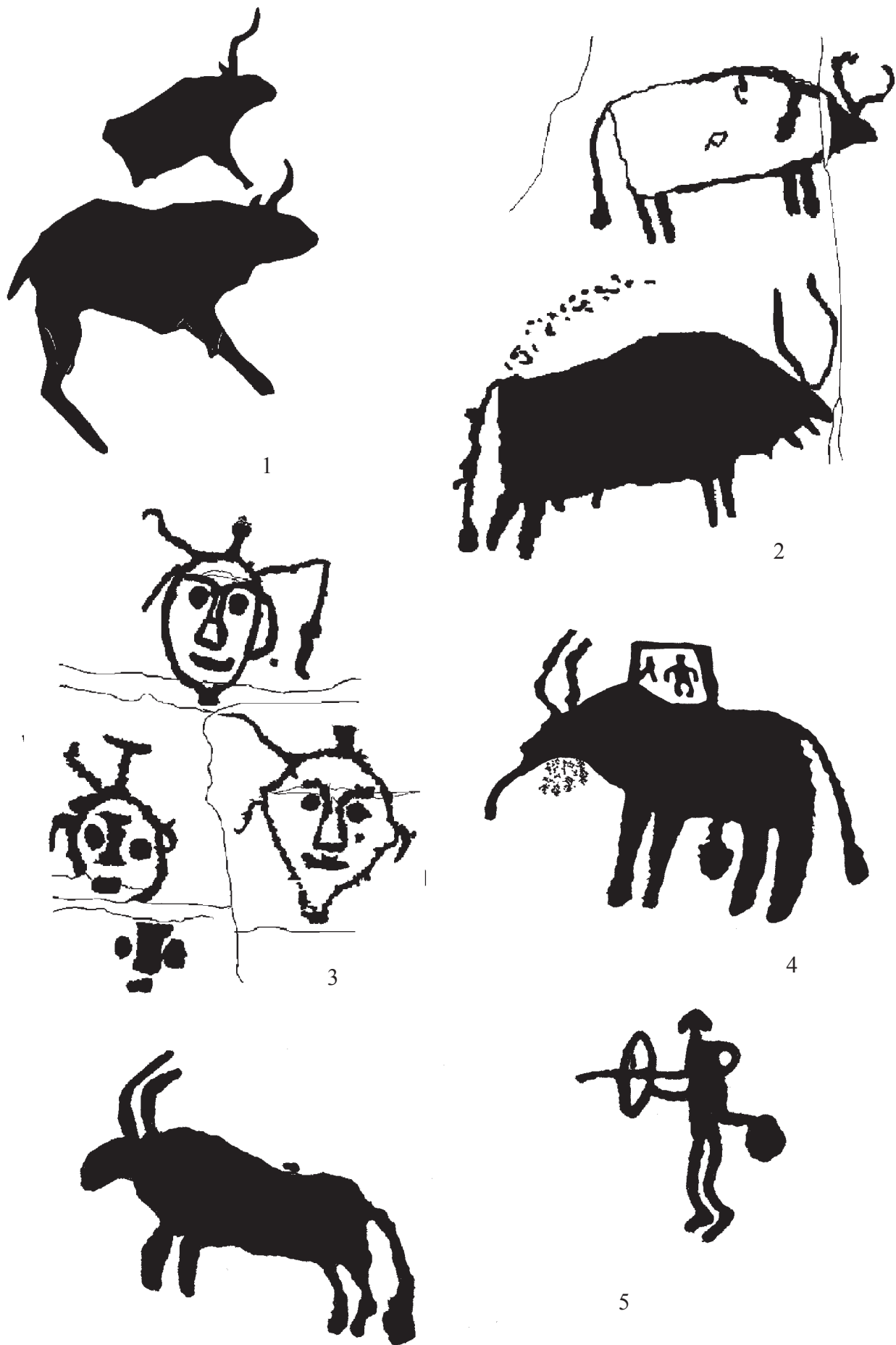


Рис. 85. Культ быка в наскальном искусстве Тувы: 1 – Ямалык; 2, 4, 5 – Саамчыыр; 3 – Алага

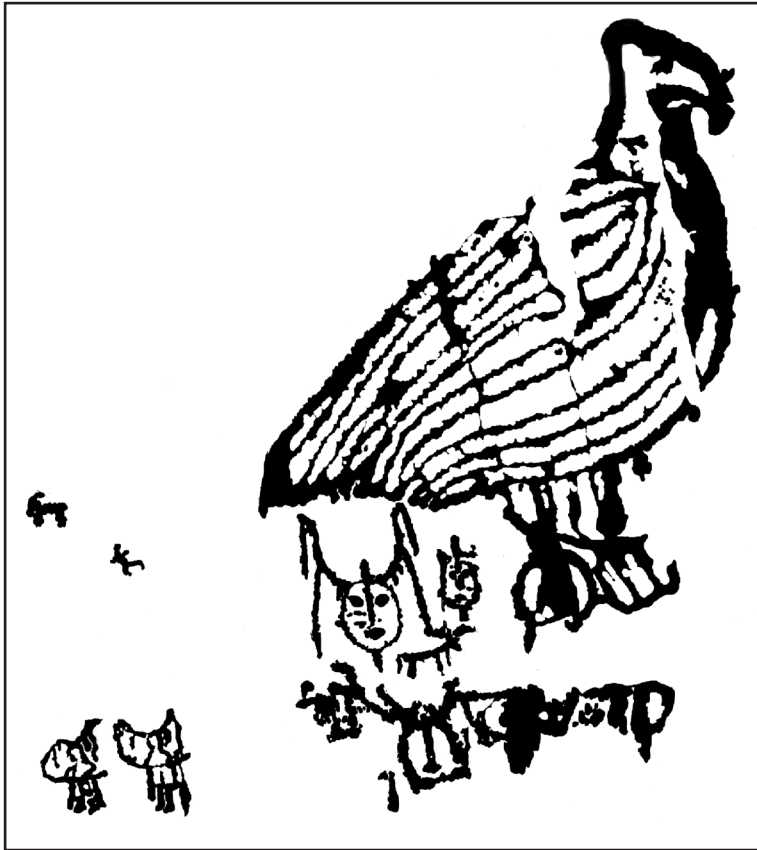


Рис. 86. Бижиктиг-Хая около Кызыл-Мажалыка. Западная Тува

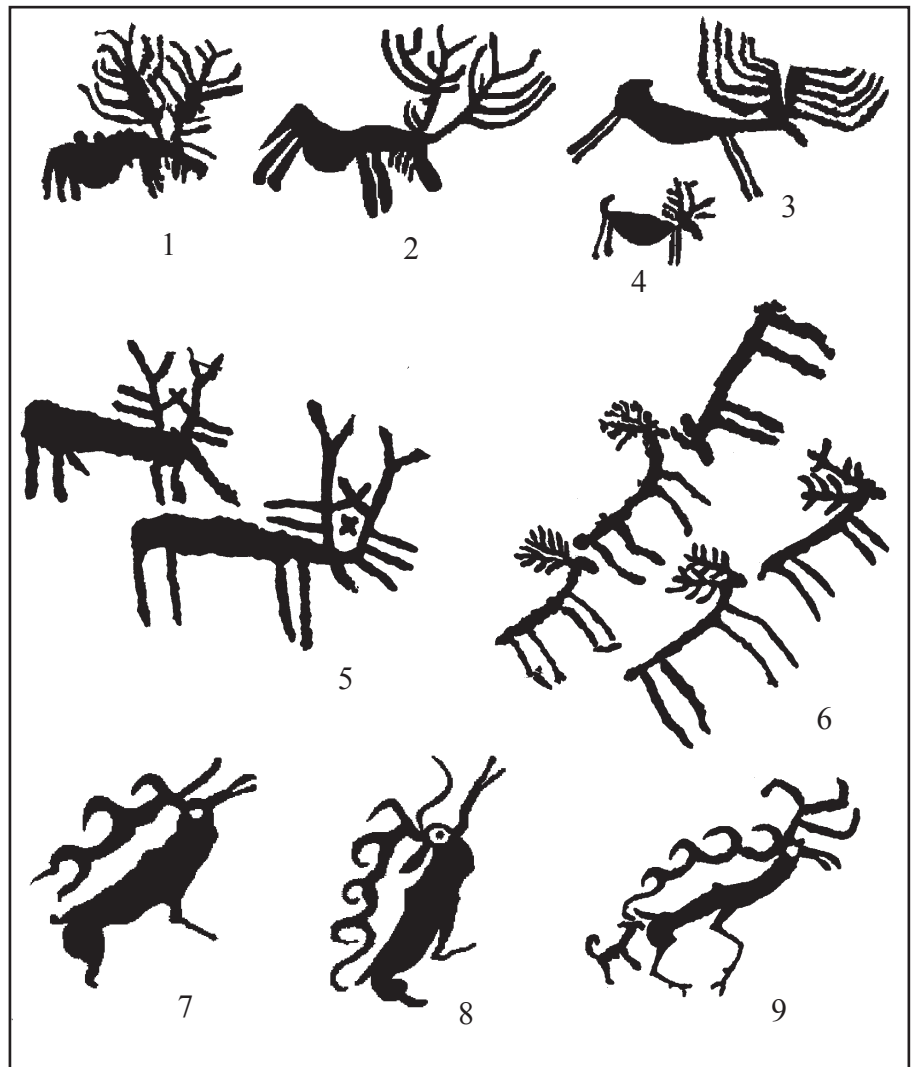


Рис. 87. Стили в наскальном искусстве Тувы эпохи бронзы: 1-4 – чайлагский стиль; 5 – чыргакский; 6 – варчинский; 7-9 – монголо-забайкальский

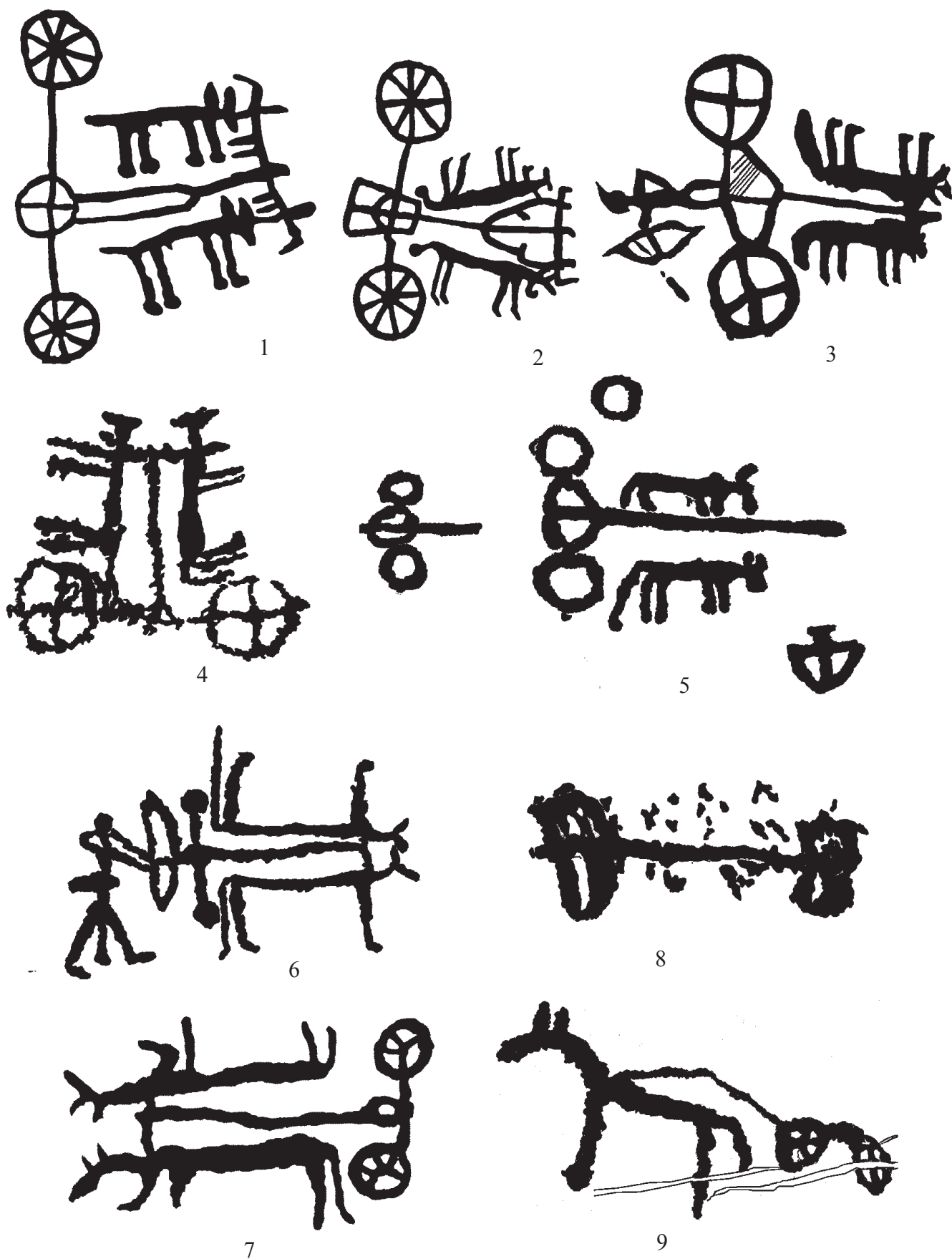
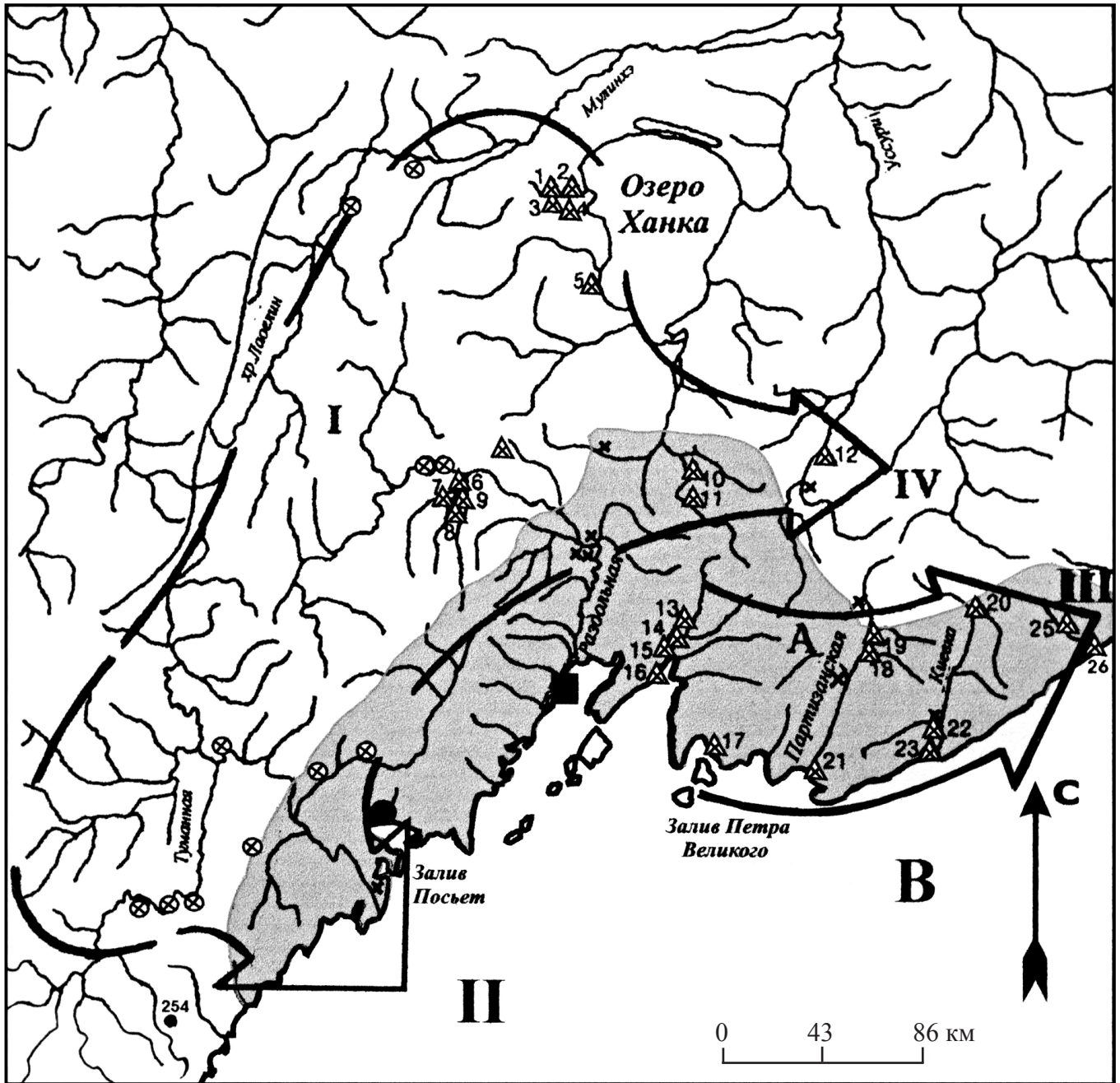


Рис. 88. Изображения колесниц в наскальном искусстве Тувы: 1, 2 – Алды-Мозага (по М. А. Дэвлет); 3 – «Каменный компас» (по М. А. Дэвлет); 4 – Сыын-Чюрек; 5 – Догээ-Баары; 6–8 – Чайлаг; 9 – Алды-Мозага



- | | | | |
|-------|-------|-------|-------|
| ① - 1 | × - 3 | ⊗ - 5 | ■ - 7 |
| → - 2 | △ - 4 | ■ - 6 | ● - 8 |

Рис. 89. Карта, иллюстрирующая распространение кроуновской культуры:

1 – нуклеарный район; 2 – направление миграции; 3 – поселения кроуновской культуры на территории Приморья; 4 – поселения кроуновской культуры на территории Приморья, где производились раскопки и оценка окружающего района; 5 – поселения культуры туаньцзе (Источник: Линь Юнь. Лунь Туаньцзе вэньхуа (О культуре Туаньцзе) // Бэйфан вэнью. 1985. № 1. С. 8–21. На кит. яз. (перевод А. Л. Ивлиева)); 6 – ареал янковской культуры; 7 – памятник Песчаный-1; 8 – памятник Зайсановка-2



Рис. 90. Пространственное распределение основных природных ресурсов населения кроуновской культуры на всех этапах существования

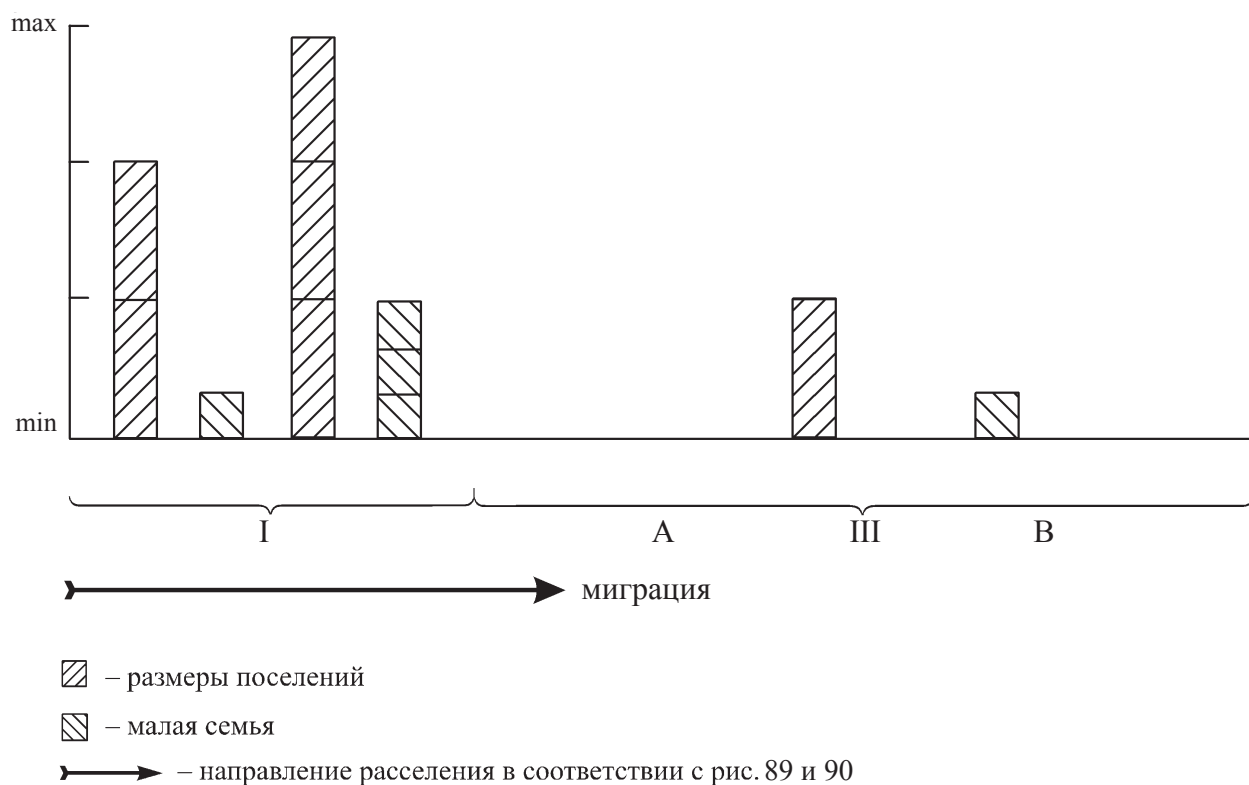


Рис. 91. Демографические показатели жилищ и поселений кроуновской культуры на всех этапах существования



Puc. 92



Puc. 93



Puc. 94



Puc. 95

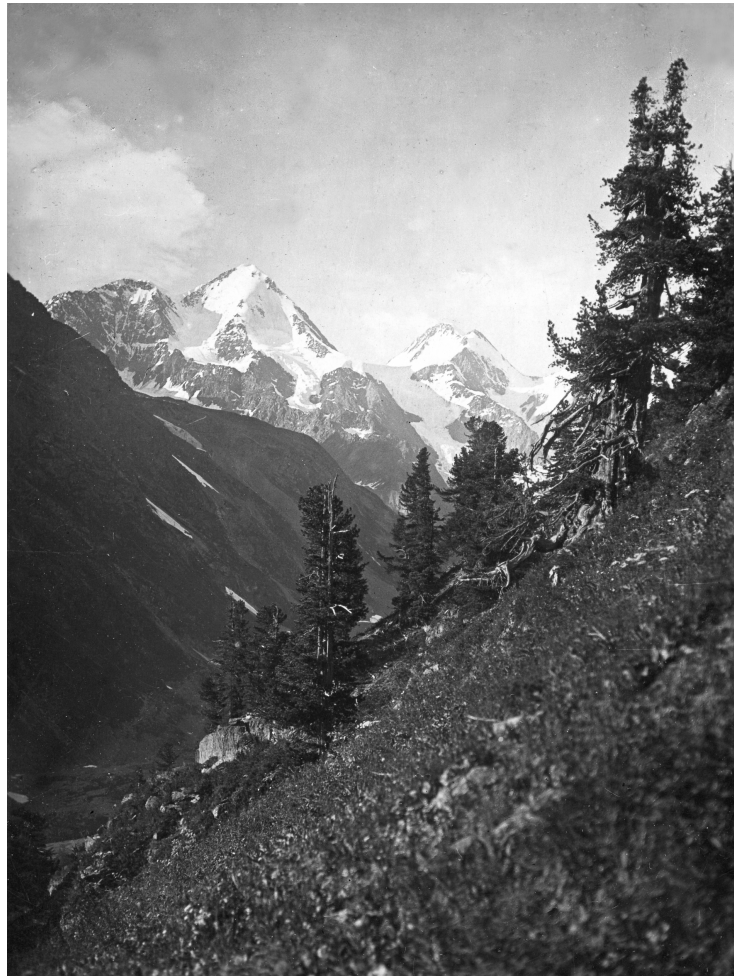


Puc. 96



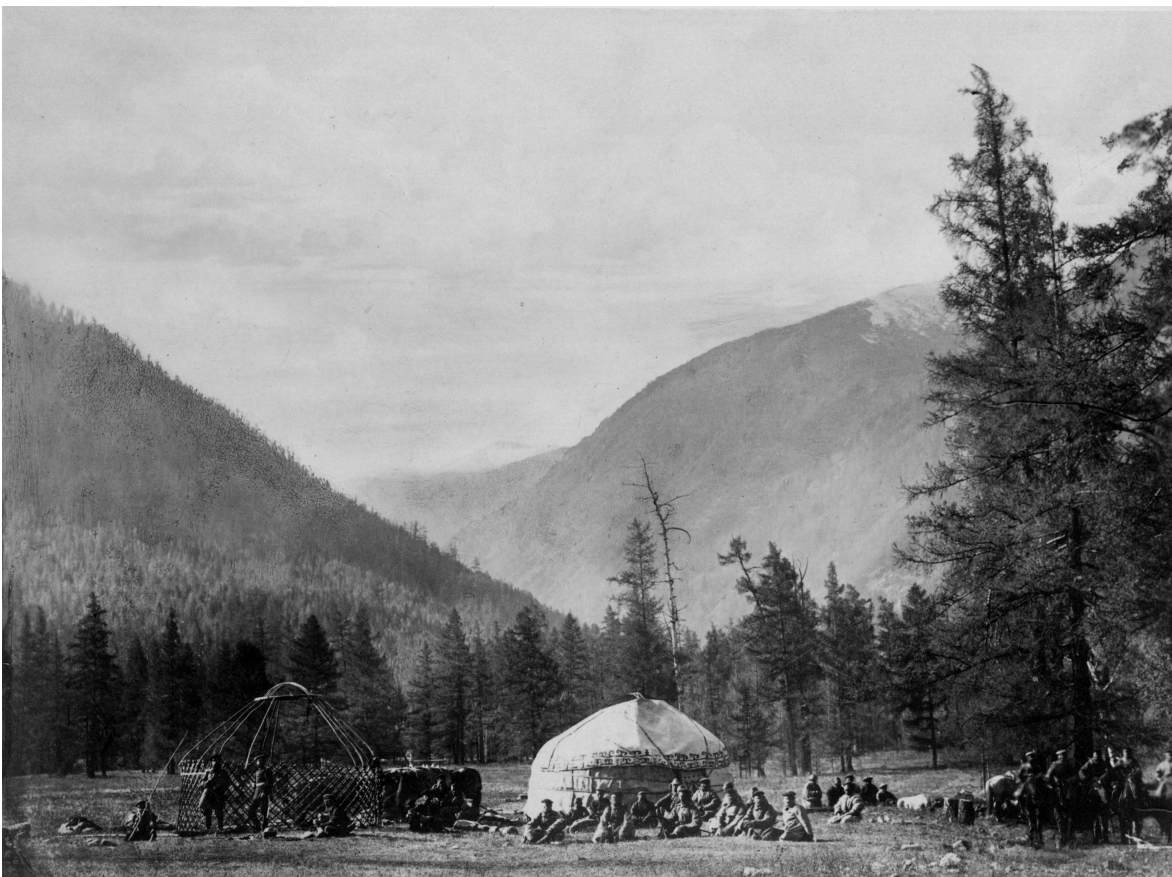
Puc. 97

Puc. 98



Puc. 99

Puc. 100



Puc. 101



Рис. 92 – 103. Различные экологические ниши на территории Саяно-Алтае-Хангайского нагорья, занимаемые обществами со скотоводческой и присваивающей экономикой (материалы фотоархива ИИМК РАН)

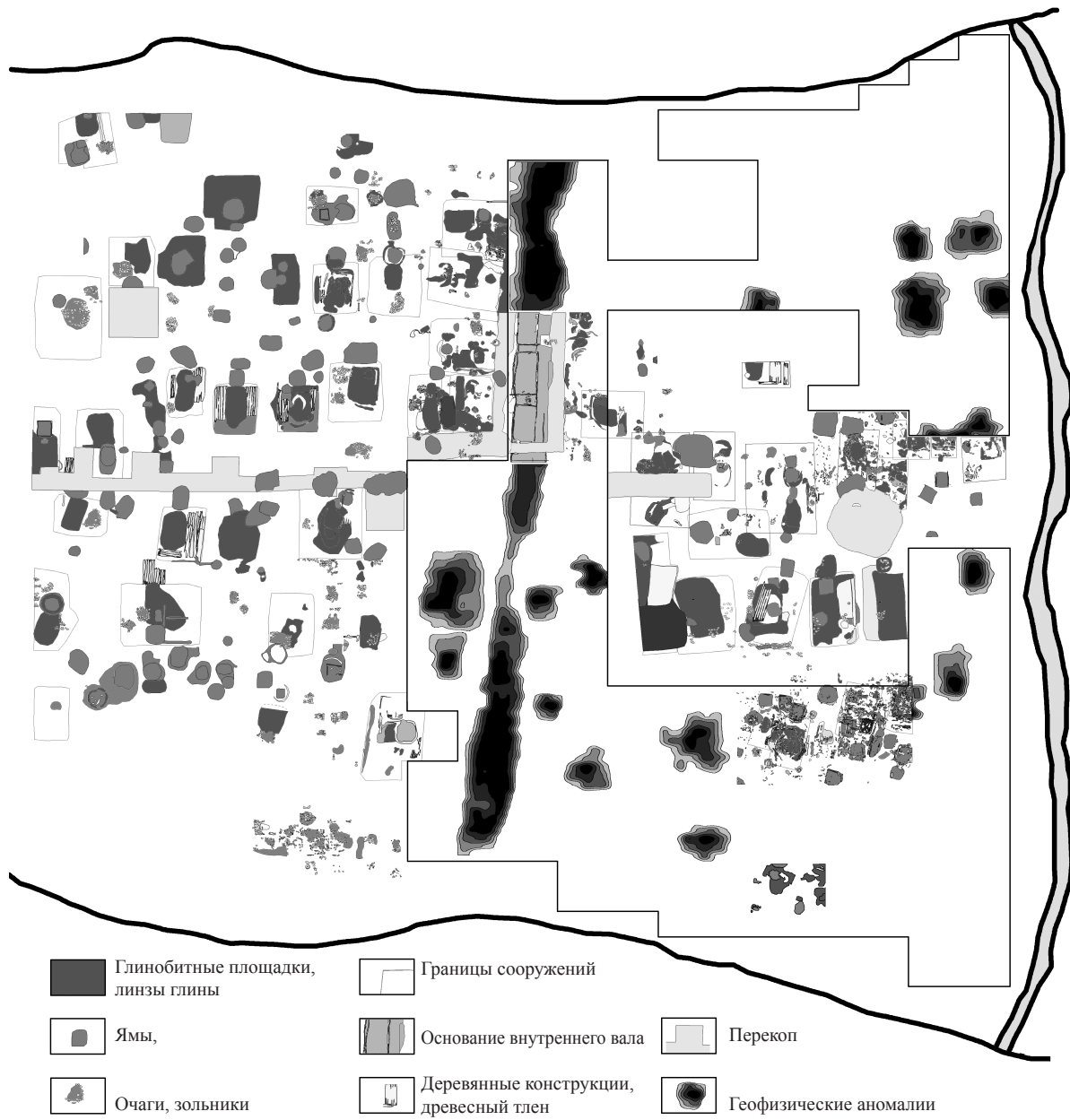


Рис. 104. Реконструкция планировки центральной части городища Иднакар по результатам междисциплинарных исследований

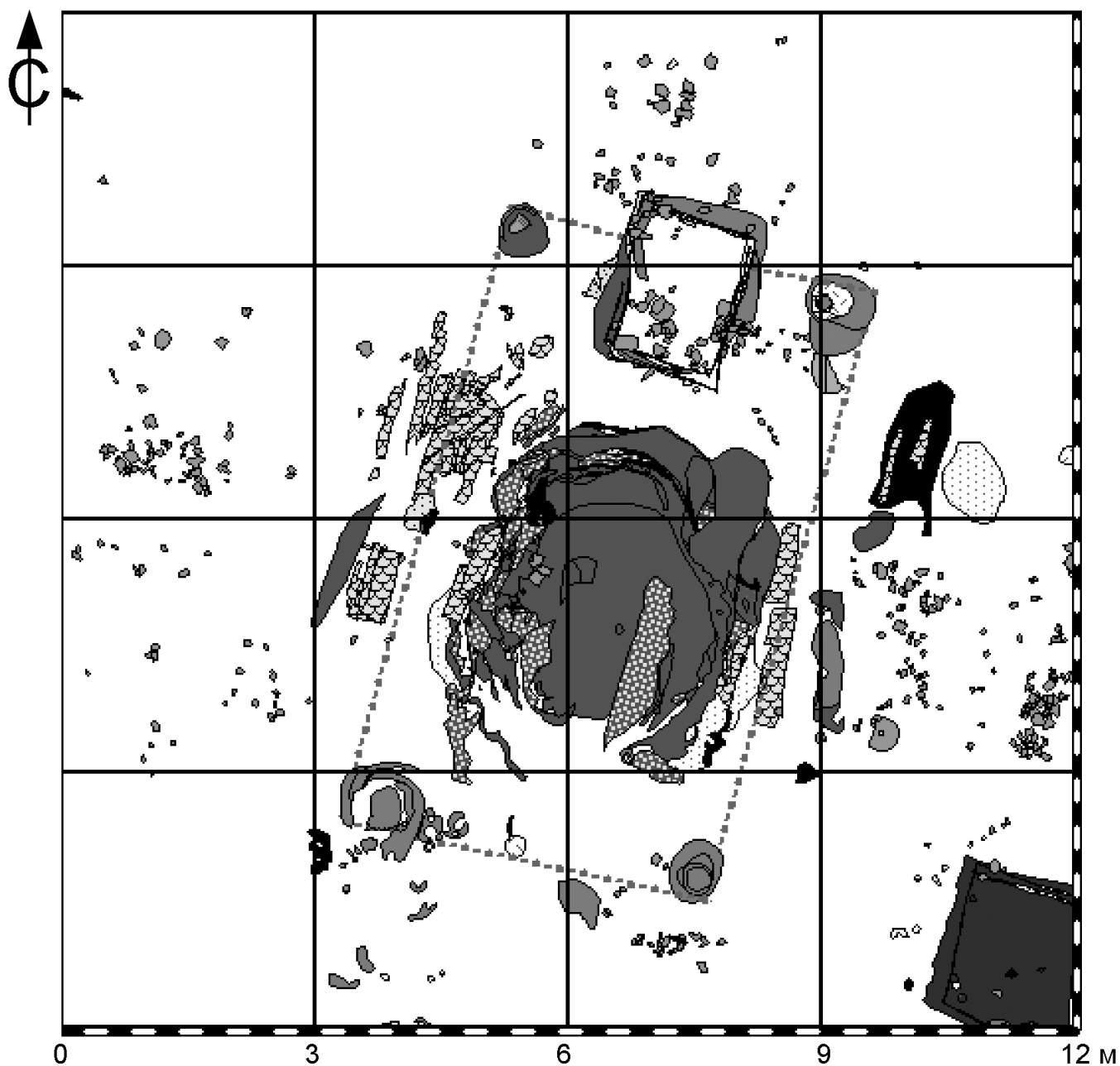
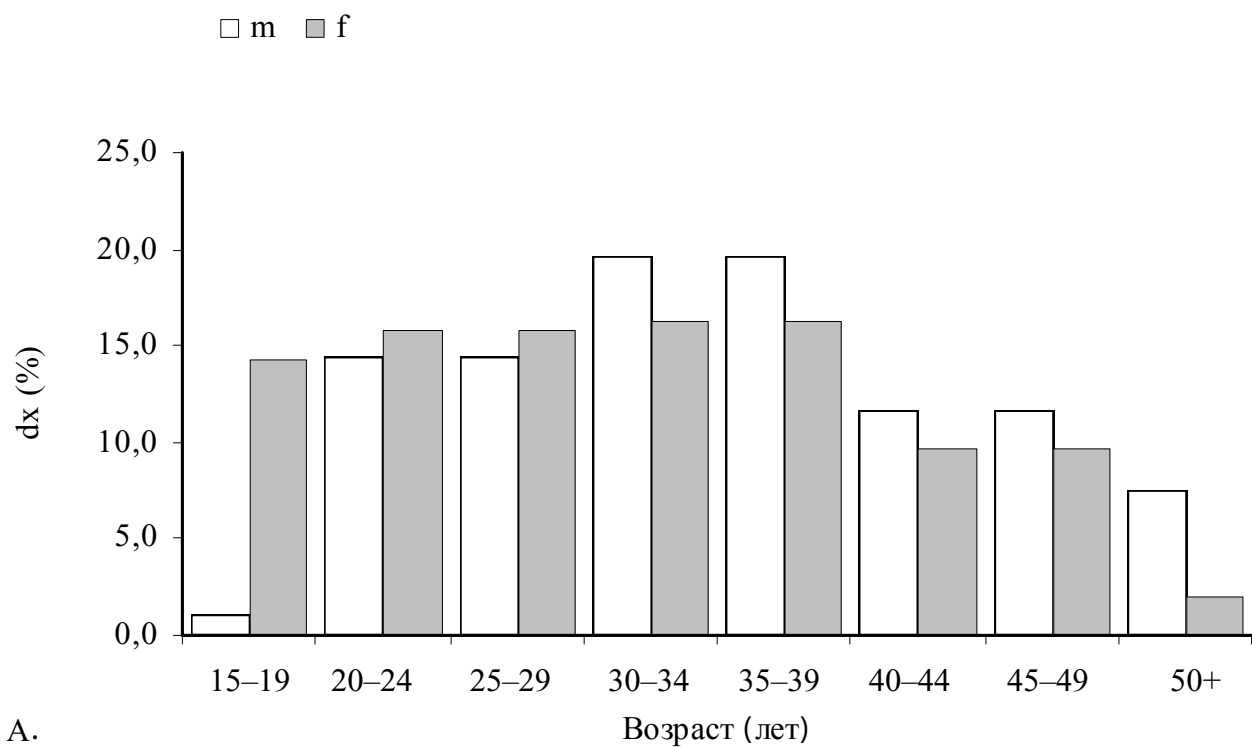


Рис. 105. Жилая постройка в центральной части городища Иднакар.
Поздний уровень планировки

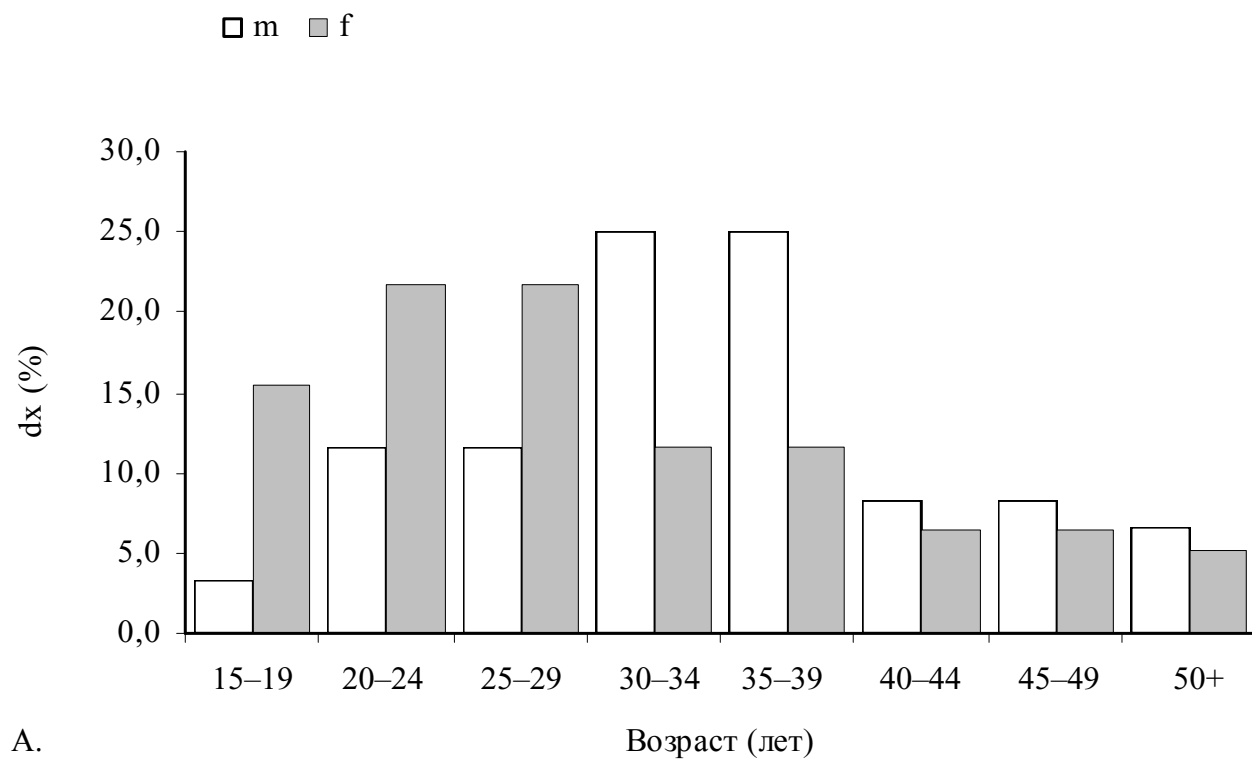
Условные обозначения

-  Прокаленная глина коричневых, красных, желтых и бурых тонов
-  Глина с примесью песка коричневых, красноватых, желтых оттенков
-  Глина коричневых, красных, желтых и бурых тонов
-  Дерево, в т.ч. обугленное дерево, труха
-  Камни
-  Уголь, насыщенные углем слои
-  Зола, насыщенные золой слои
-  Предполагаемые границы объектов планировки (построек)



A.

Рис. 106. Половозрастная структура индивидов из некрополя Эквен



A.

Рис. 107. Половозрастная структура индивидов из некрополя Уэлен

Рис. 108. Stribra orbitalia в группах из некрополей Эквен и Уэлен

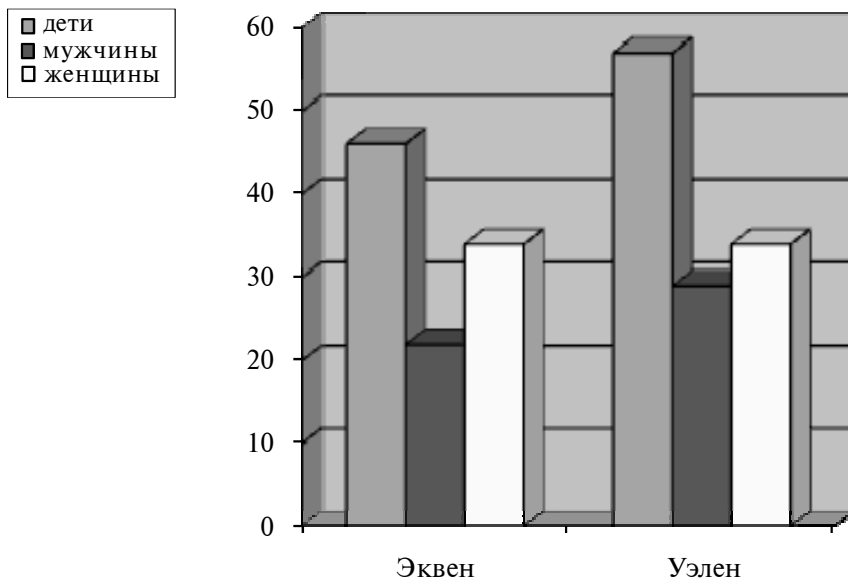


Рис. 109. Сосудистая реакция на костях черепа в группах из некрополей Эквен и Уэлен

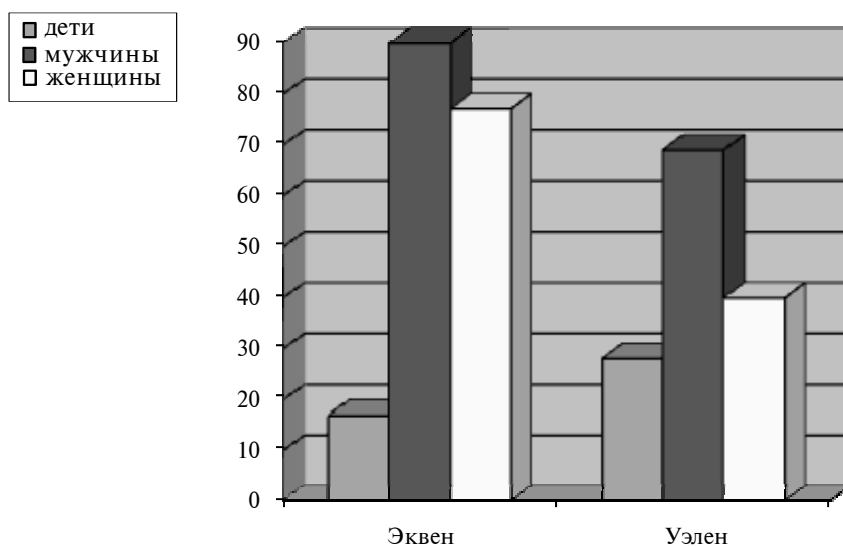
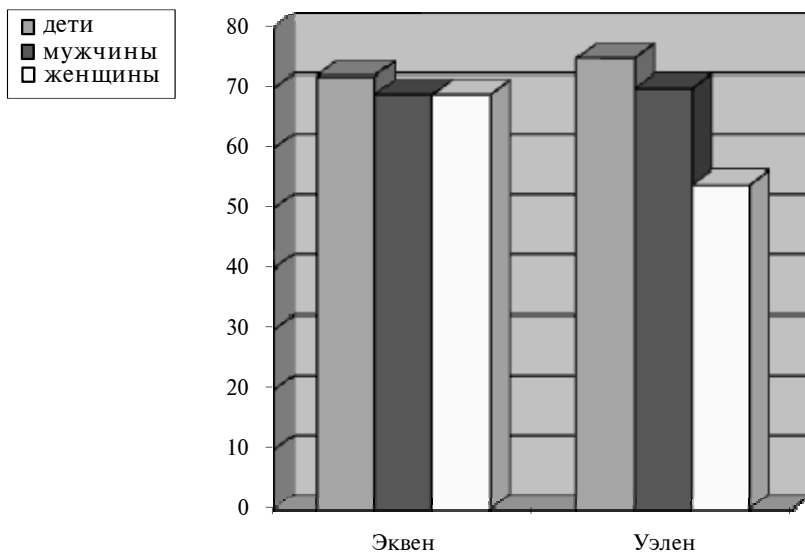


Рис. 110. Эмалевая гипоплазия на зубах в группах из некрополей Эквен и Уэлен



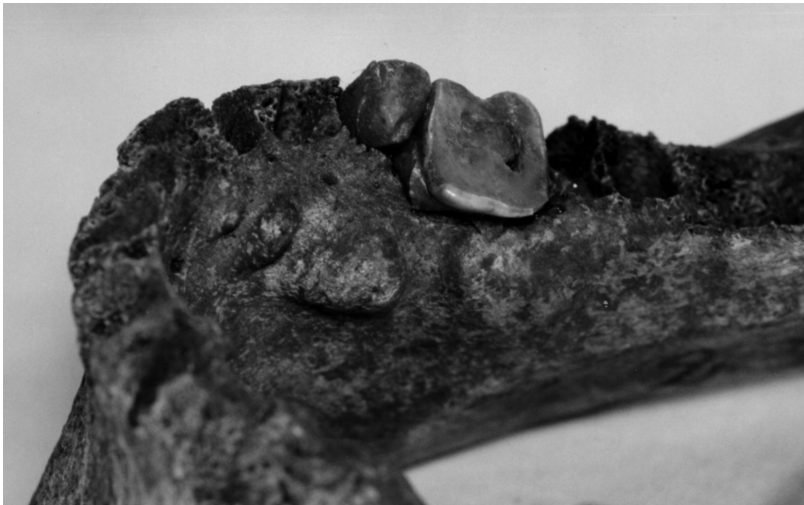


Рис. 111. Функциональная стертость зубной коронки



Рис. 112. Место разбивки Раскопа № II у северо-восточной стены Преображенского собора. Вид с севера



Рис. 113. Начало работ на Раскопе № III у северной стены Преображенского собора. Вид с северо-запада

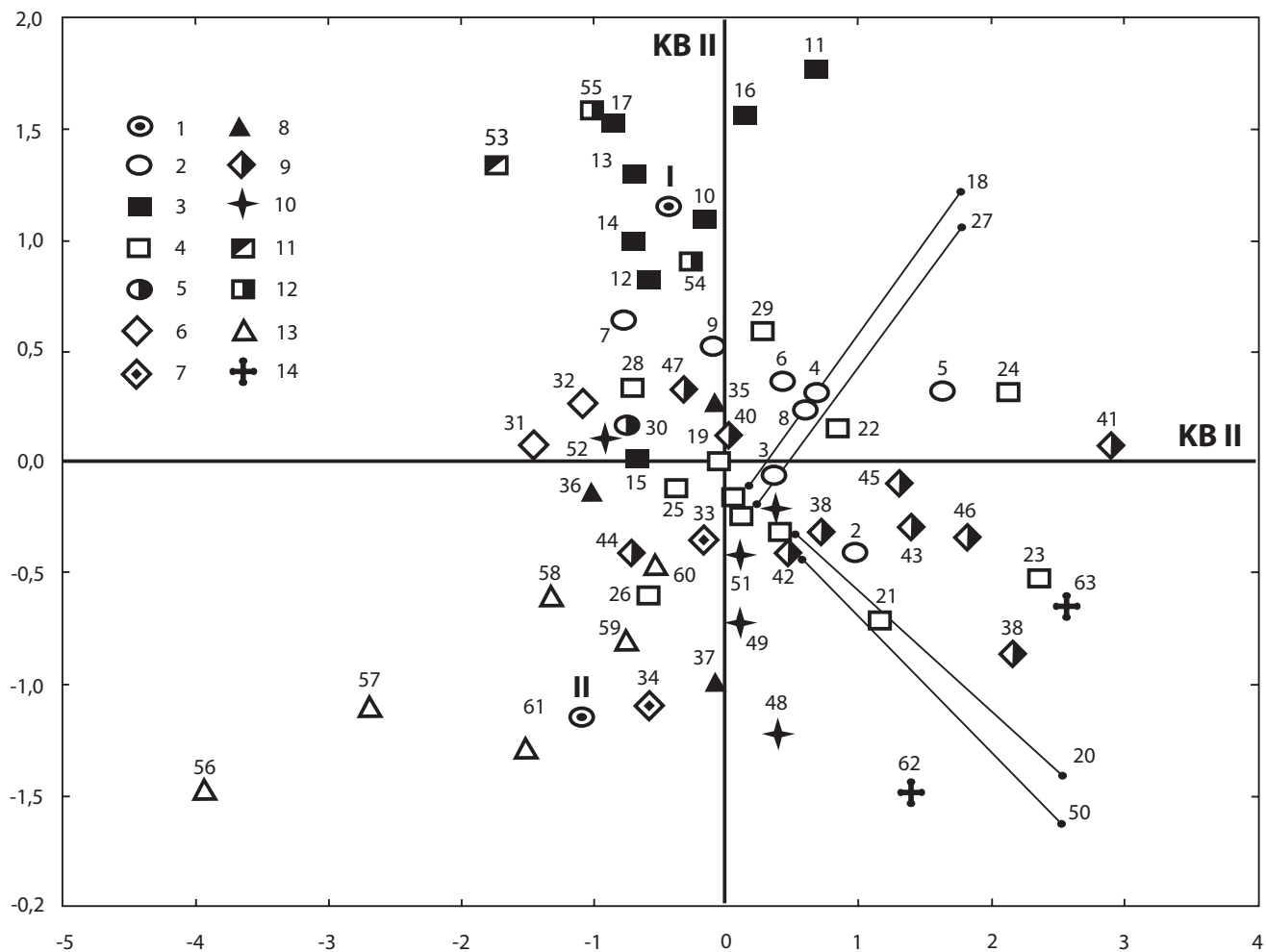


Рис. 114. Положение близких к современности краниологических серий с территории Восточной Европы в пространстве I и II канонических векторов:

I – «высокоголовая» серия с о. Кизи; II – «низкоголовая» серия с о. Кизи; 2 – русские; 3 – карелы; 4 – финны; 5 – коми-пермяки;

6 – удмурты; 7 – марийцы; 8 – мордва; 9 – латыши; 10 – эстонцы; 11 – ижора; 12 – коми-зыряне; 13 – саамы; 14 – шведы.

Нумерация групп соответствует принятой в табл. 14



Рис. 115. Скульптурная реконструкция по черепу женщины из могильника Эквен. Автор: Т. С. Балуева

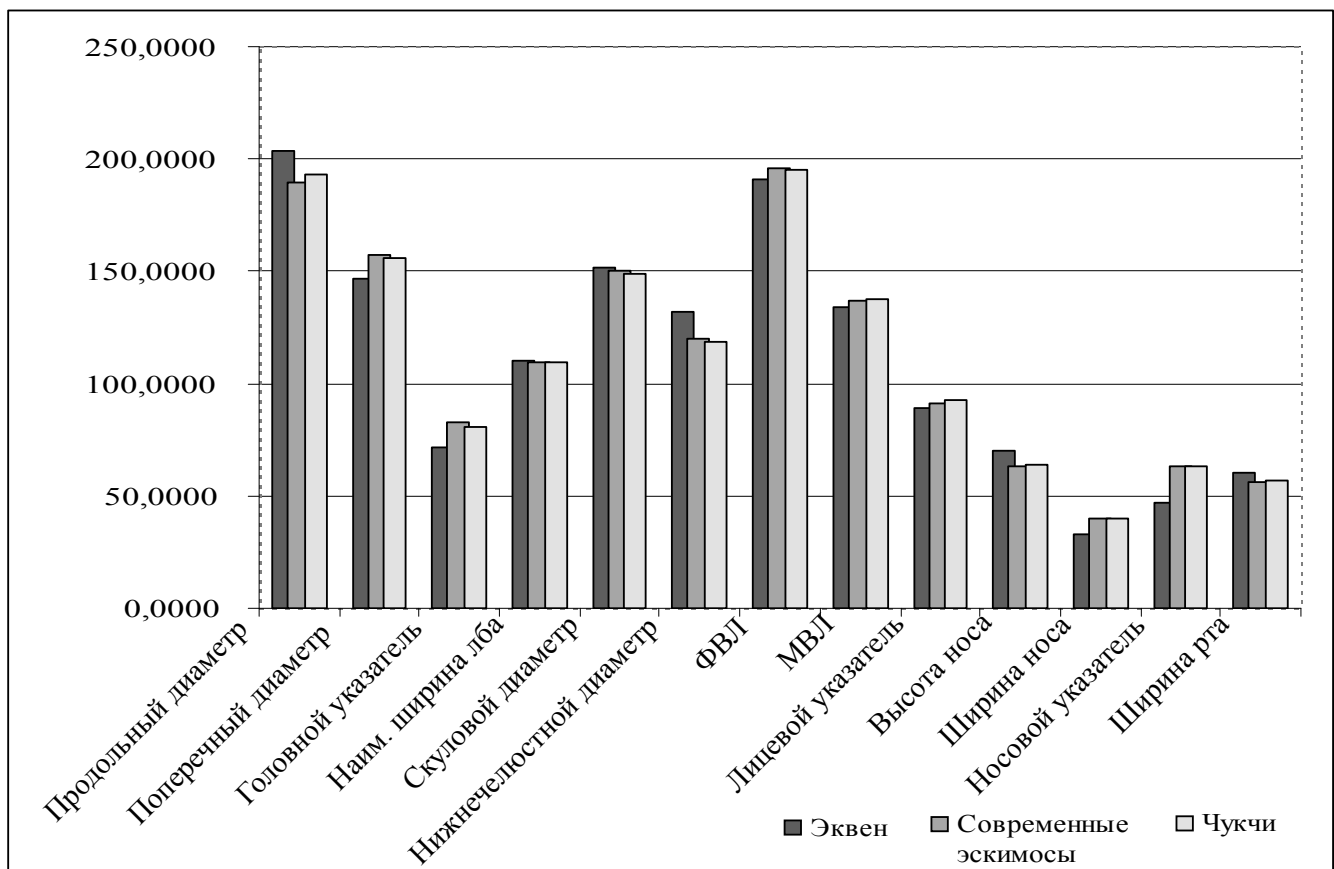


Рис. 116. Сопоставление реконструированной выборки с современными группами

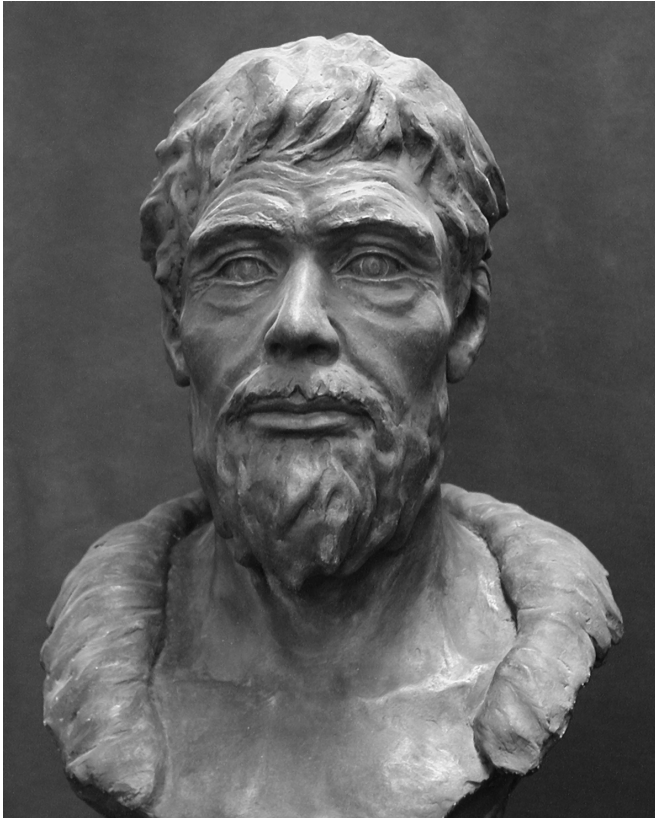


Рис. 117. Скульптурная реконструкция по черепу мужчины из могильника Коскудук.
Автор: Е. В. Веселовская



Рис. 118. Скульптурная реконструкция по черепу мужчины из Гумаровских курганов.
Автор: Т. С. Балужева

Рис. 119. Скульптурная реконструкция по черепу мужчины из Гумаровских курганов.
Автор: Т. С. Балужева



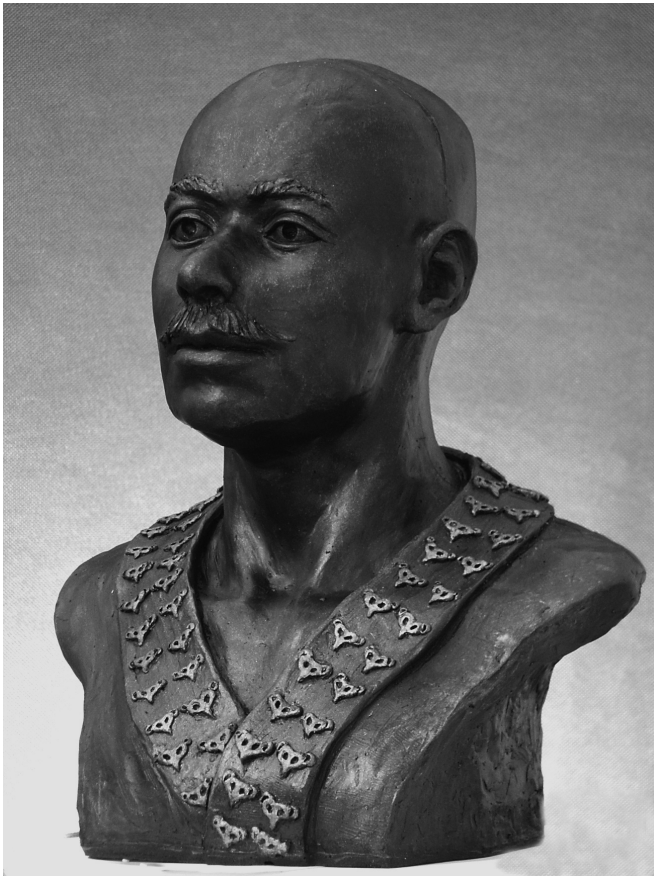


Рис. 120. Скульптурная реконструкция по черепу мужчины из могильника Чиликты. Авторы: Т. С. Балуева, Е. В. Веселовская

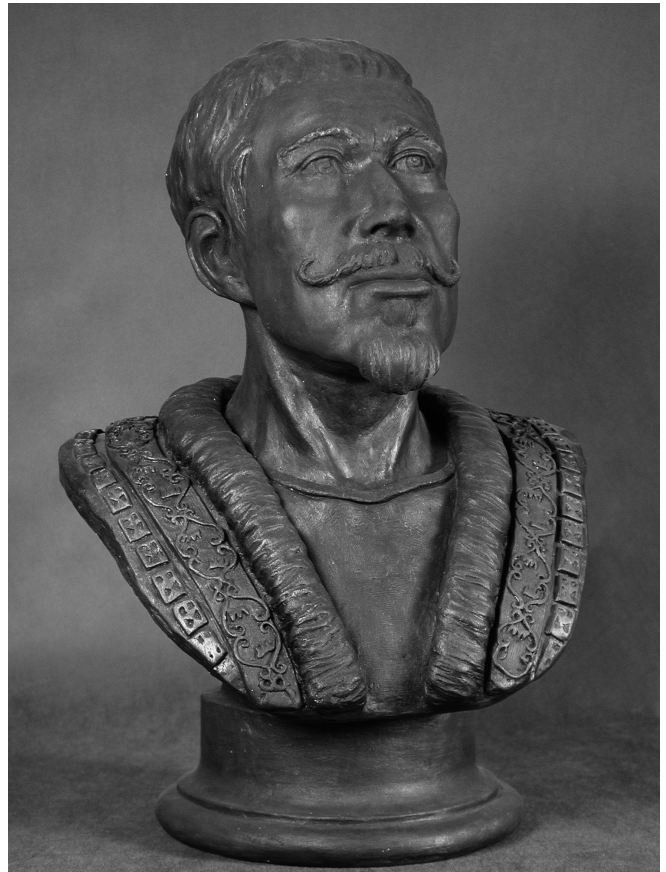


Рис. 121. Скульптурная реконструкция по черепу мужчины из могильника Берел. Автор: Е. В. Веселовская



Рис. 122. Скульптурная реконструкция по черепу мужчины из Филипповских курганов. Автор: Т. С. Балуева



Рис. 123. Скульптурная реконструкция по черепу женщины из Филипповских курганов.
Автор: Т. С. Балуева

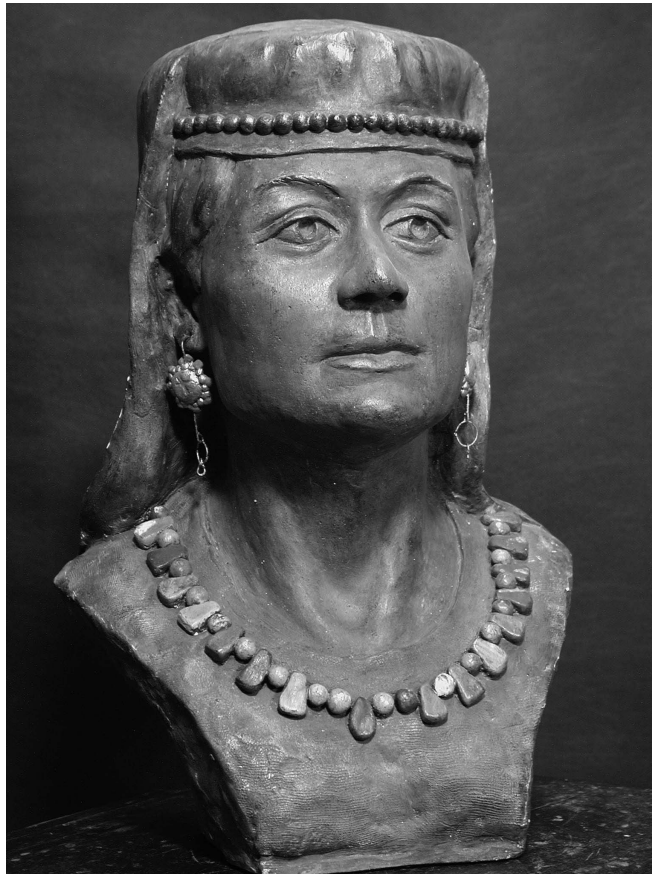


Рис. 124. Скульптурная реконструкция по черепу женщины из могильника Исаковка.
Автор: Т. С. Балуева



Рис. 125. Скульптурная реконструкция по черепу женщины из могильника Алтынасар.
Автор: Е. В. Веселовская



Рис. 126. Скульптурная реконструкция по черепу женщины из могильника Алтынасар.
Автор: О. М. Григорьева

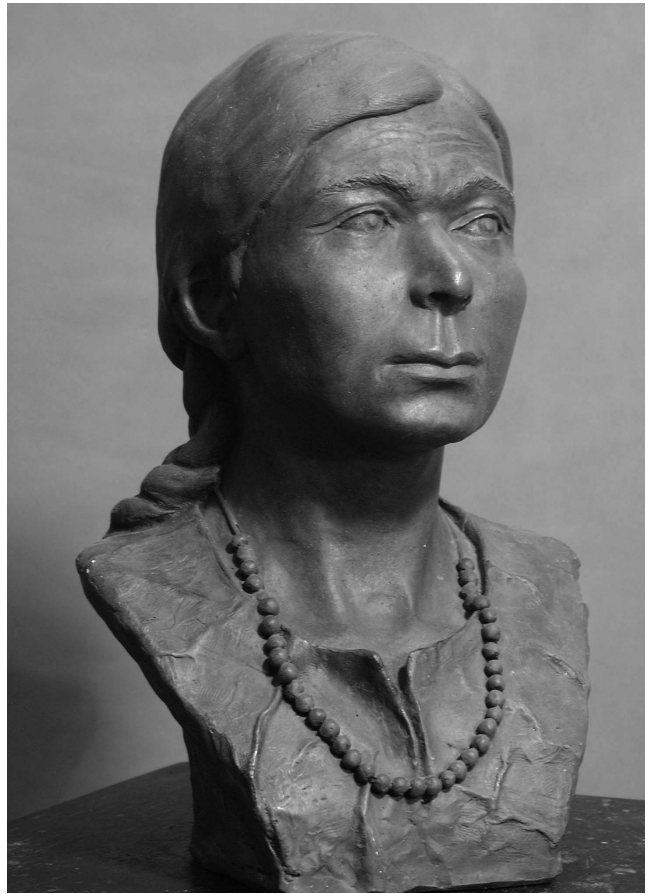


Рис. 127. Скульптурная реконструкция по черепу женщины из могильника Сары-Камыс.
Автор: Е. В. Веселовская



Рис. 128. Скульптурная реконструкция по черепу мужчины из могильника Каракыстак.
Авторы: Т. С. Балужева, Е. В. Веселовская



Рис. 129. Скульптурная реконструкция по черепу женщины из могильника Бозок. Авторы: Т. С. Балужева, Е. В. Веселовская

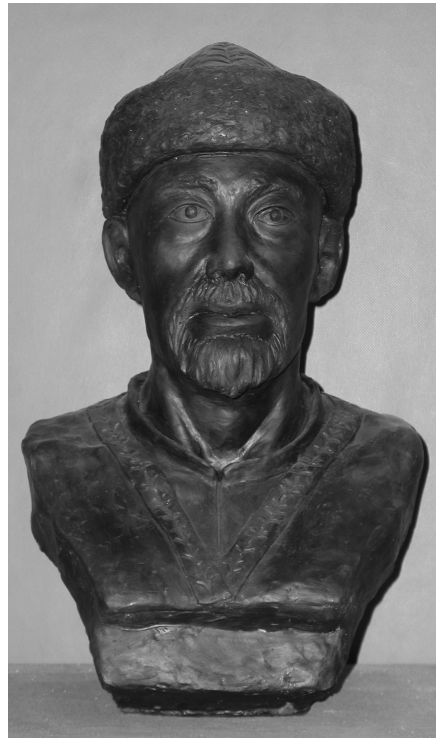


Рис. 130. Скульптурная реконструкция по черепу казахского бия Айтеке Би Байбекулы. Авторы: Т. С. Балужева, Е. В. Веселовская

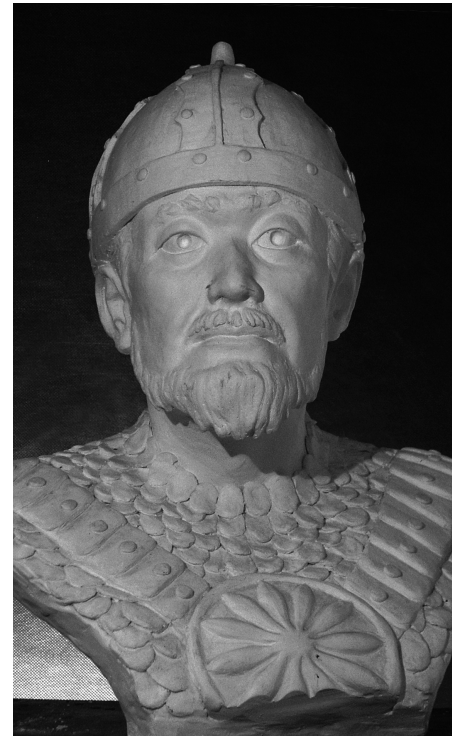


Рис. 131. Скульптурная реконструкция по черепу казахского батыра Кобыланды. Авторы: Т. С. Балужева, Е. В. Веселовская

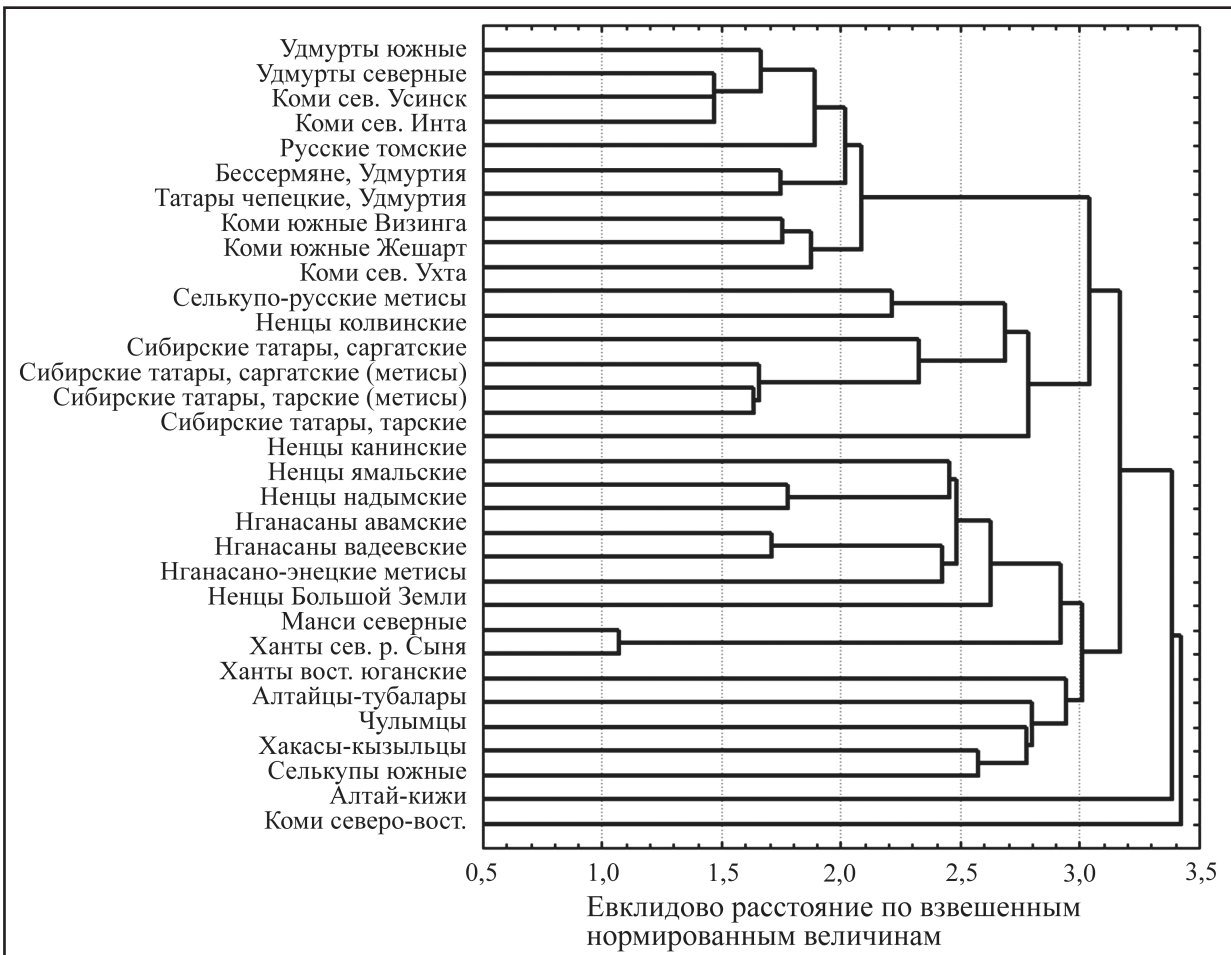


Рис. 132. Кластеризация групп по комплексу признаков физической внешности



Рис. 133. Семья назымских хантов в пос. Кышик

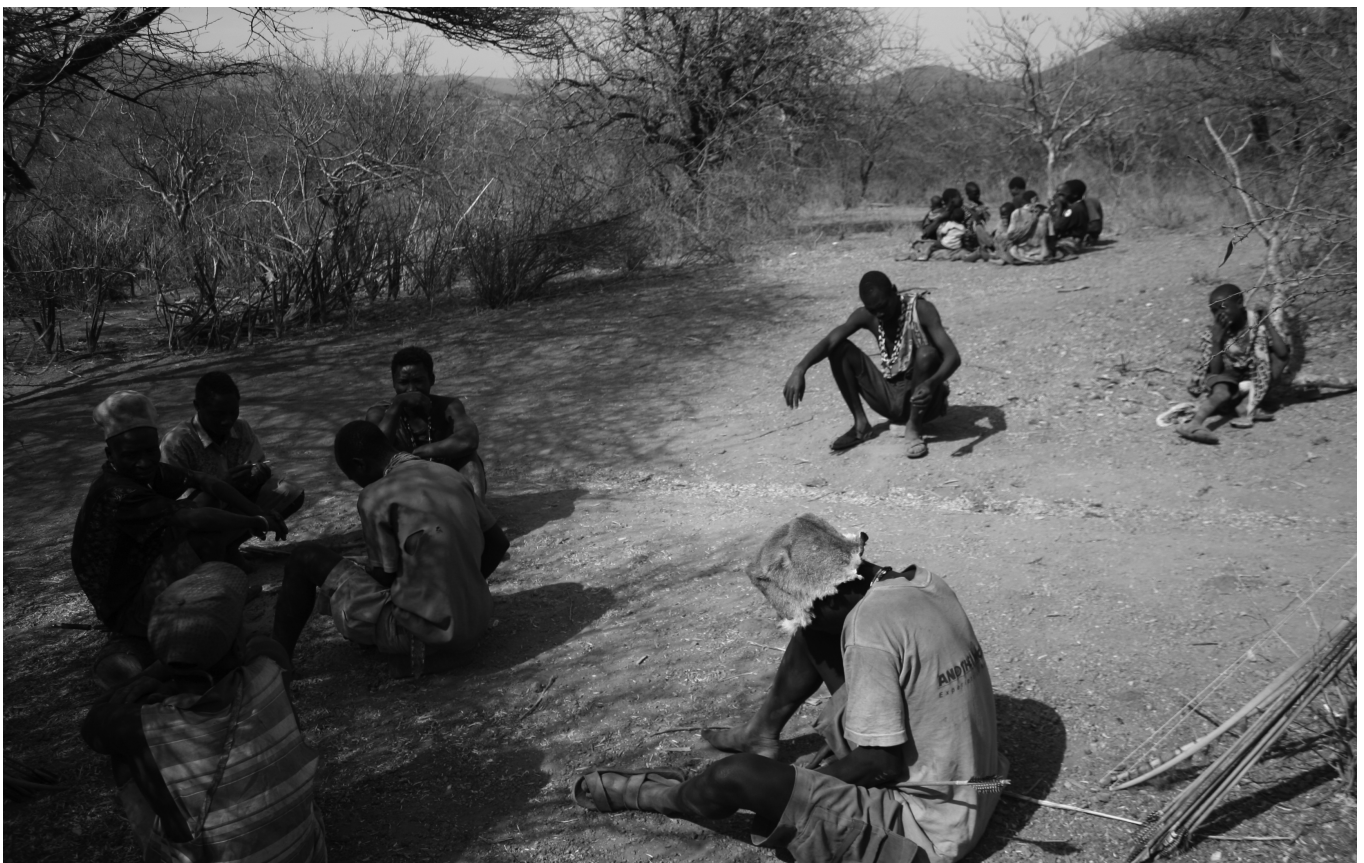


Рис. 134. Лагерь хадза (фото М. Л. Бутовской)



Рис. 135. Молодые мужчины датого (фото М. Л. Бутовской)



Рис. 136. Измерение пальцев у датого (фото М. Драмбян)



Рис. 137. Хозяин бомы Гевай с семьей (фото М. Драмбян)



Рис. 138. Лидер группы хадза Ньерере (фото В. Буркова)